

BARBHACK 2020



PROPAGATION DE L'IMPACT DES VULNÉRABILITÉS DANS LES SYSTÈMES COMPLEXES

Antoine Boudermine

29/08/2020



QUI SUIS-JE?

Prénom : Antoine
Nom : Boudermine
Age : 24 ans



antoine.boudermine@protonmail.com



<https://www.linkedin.com/in/antoine-boudermine-678ab0152>

Effectue une thèse au CERT Naval Group sur le sujet suivant:

« Etude de la propagation de l'impact des vulnérabilités dans les systèmes complexes »

INTRODUCTION

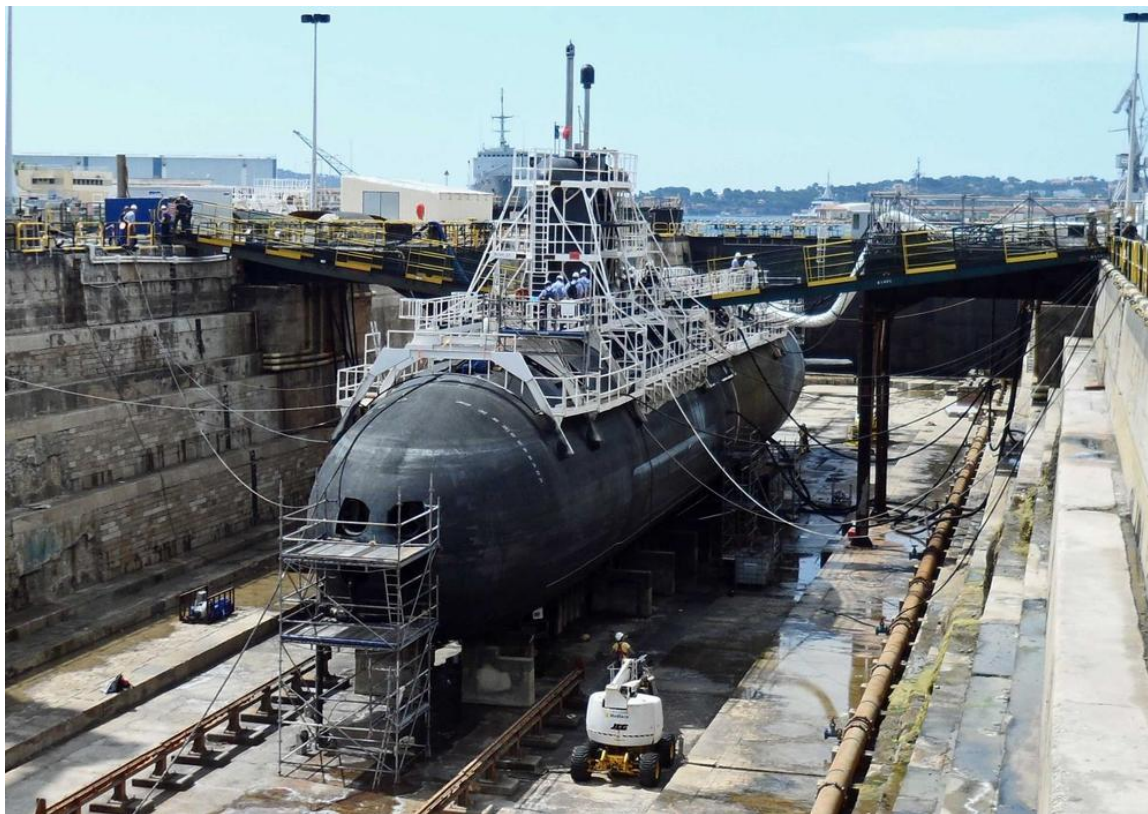
INTRODUCTION

MISSION

Concevoir

Réaliser

Entretien



INTRODUCTION

PROBLÉMATIQUE



Compatibilités des produits

Mise à jour sans connexion

Perturbation de la mission

INTRODUCTION

CVSS SCORE

8.1
(High)

Base Score

Attack Vector (AV)

Network (N) Adjacent (A) Local (L) Physical (P)

Attack Complexity (AC)

Low (L) High (H)

Privileges Required (PR)

None (N) Low (L) High (H)

User Interaction (UI)

None (N) Required (R)

Scope (S)

Unchanged (U) Changed (C)

Confidentiality (C)

None (N) Low (L) High (H)

Integrity (I)

None (N) Low (L) High (H)

Availability (A)

None (N) Low (L) High (H)

Impact sur le système ?

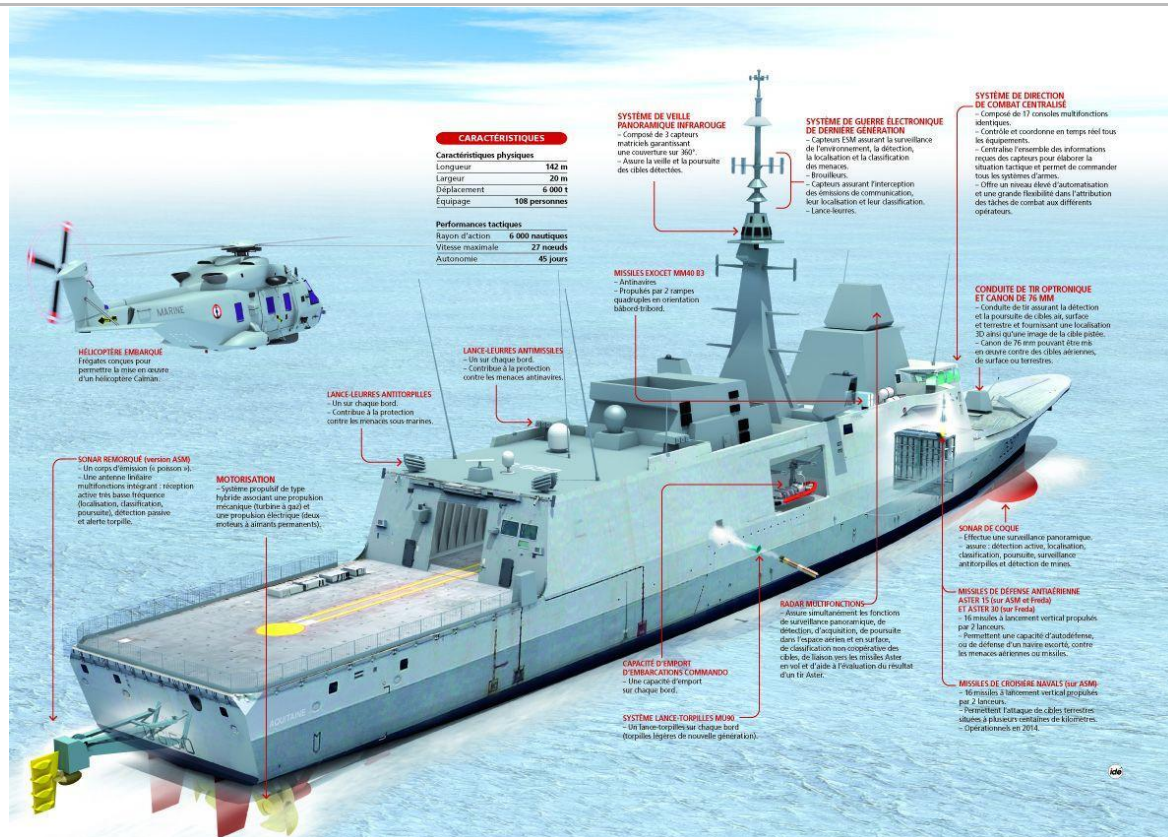
INTRODUCTION

SYSTÈME COMPLEXE

Nombreux éléments
hétérogènes

Fortes interactions

Evolution au cours du
temps



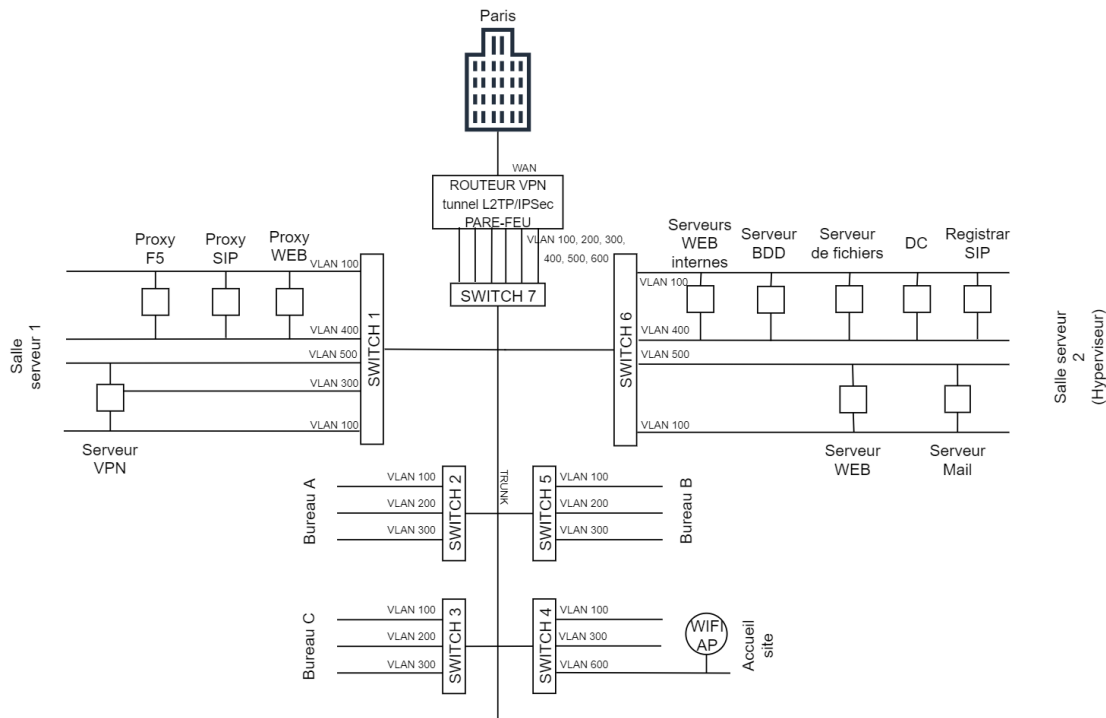
Comment résoudre ce problème ?

Identifier l'importance de l'élément dans la structure du système.

Identifier les différents scénarios d'attaques permettant d'exploiter la vulnérabilité.

INTRODUCTION

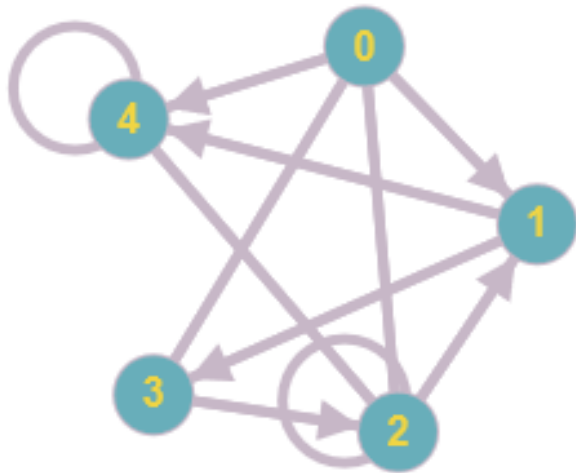
EXEMPLE D'UN SYSTÈME COMPLEXE



SOLUTIONS EXISTANTES

SOLUTIONS EXISTANTES

PRÉREQUIS

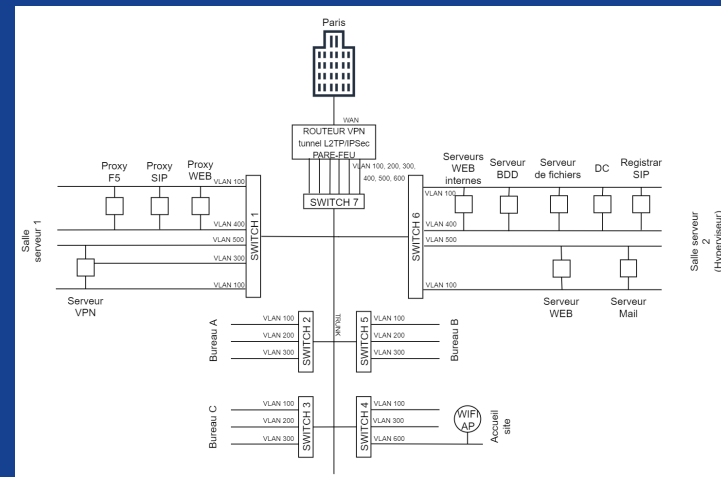


Matrice d'adjacence

$$A = \begin{matrix} & \begin{matrix} To \\ 0 & 1 & 1 & 1 & 1 \end{matrix} \\ \begin{matrix} From \\ 0 & 0 & 0 & 1 & 1 \\ 1 & 1 & 1 & 0 & 1 \\ 1 & 0 & 1 & 0 & 0 \\ 0 & 0 & 1 & 0 & 1 \end{matrix} & \end{matrix}$$

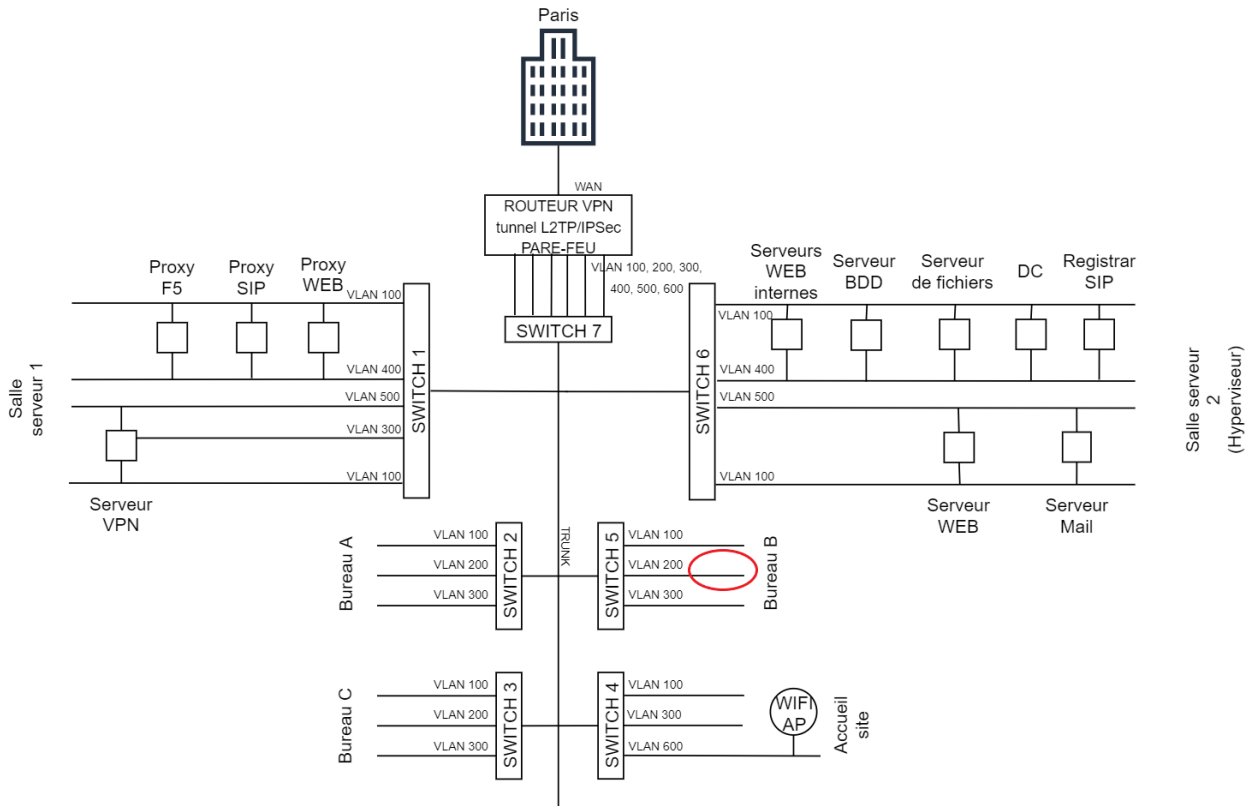
SOLUTIONS EXISTANTES

ANALYSE STRUCTURELLE DU SYSTEME



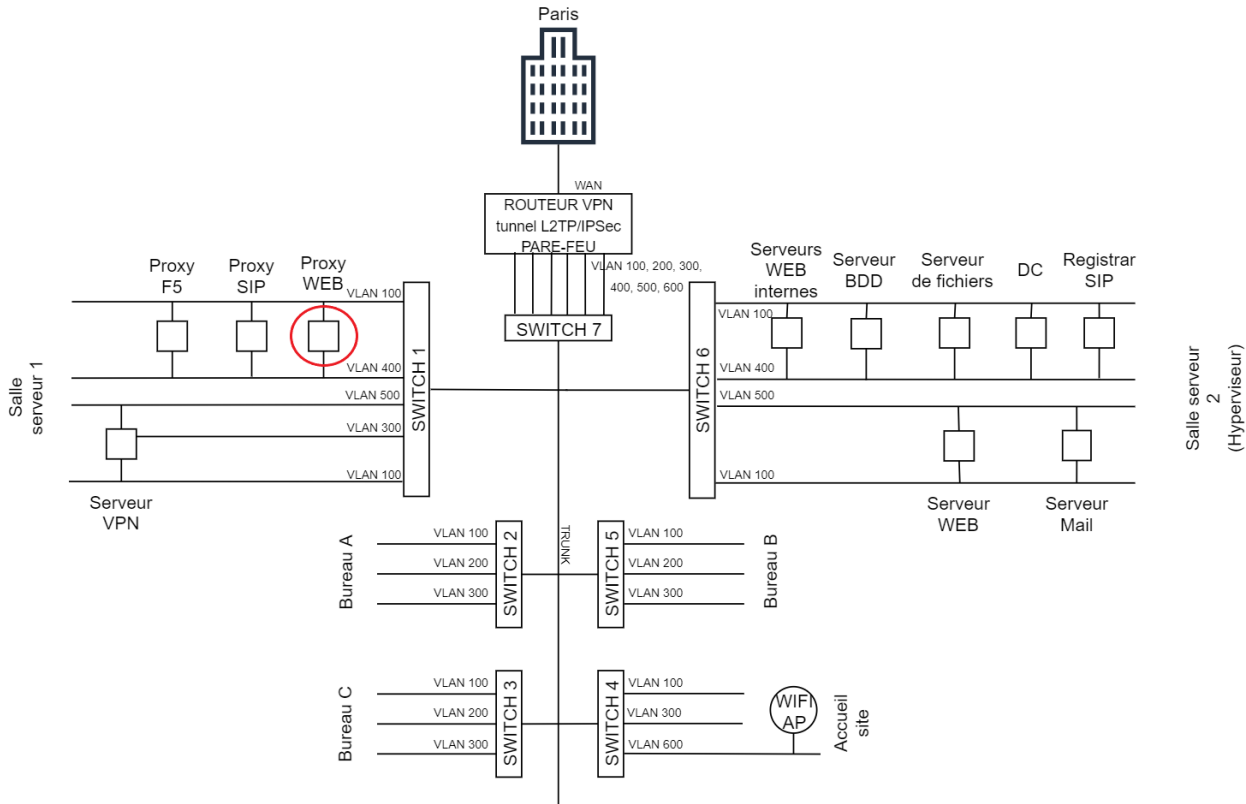
SOLUTIONS EXISTANTES

ANALYSE STRUCTURELLE DU SYSTÈME



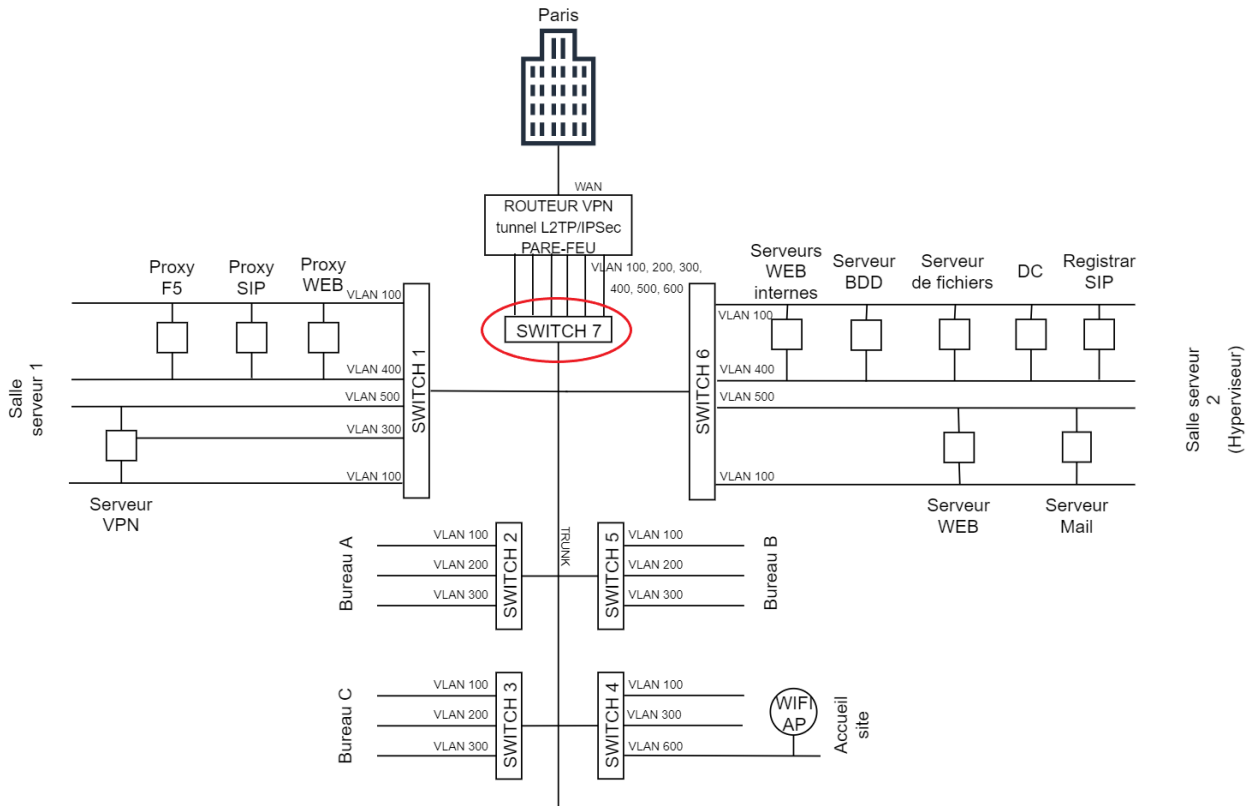
SOLUTIONS EXISTANTES

ANALYSE STRUCTURELLE DU SYSTÈME



SOLUTIONS EXISTANTES

ANALYSE STRUCTURELLE DU SYSTÈME

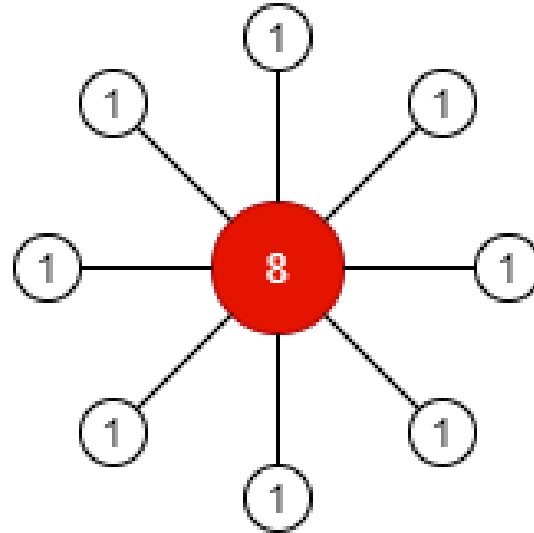


SOLUTIONS EXISTANTES

ANALYSE STRUCTURELLE DU SYSTÈME

Degree centrality

$$ND_i = \sum_{j=1, j \neq i}^N a_{ij}$$

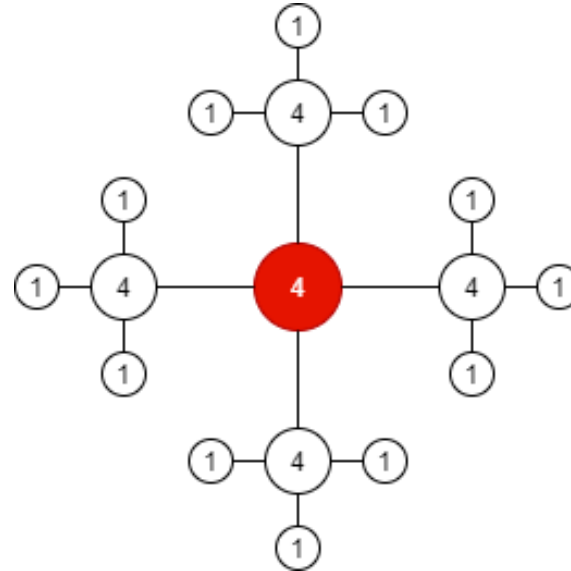


SOLUTIONS EXISTANTES

ANALYSE STRUCTURELLE DU SYSTÈME

Eigenvector centrality

$$A \times \begin{bmatrix} 1 \\ 1 \\ \vdots \\ 1 \end{bmatrix} = \begin{bmatrix} 1 \\ 4 \\ \vdots \\ 4 \end{bmatrix}$$

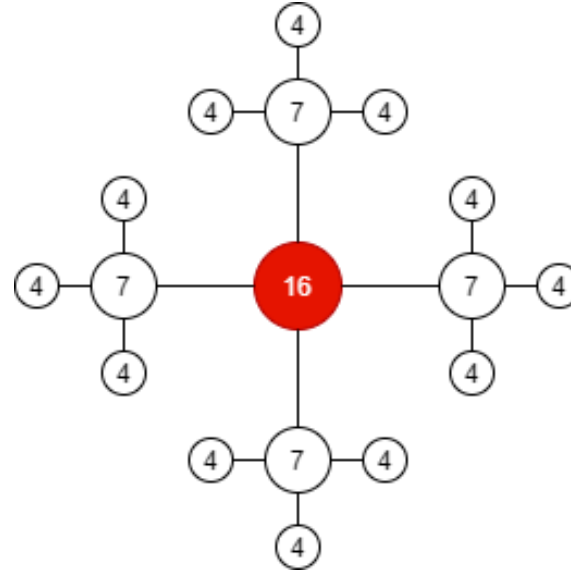


SOLUTIONS EXISTANTES

ANALYSE STRUCTURELLE DU SYSTÈME

Eigenvector centrality

$$A \times \begin{bmatrix} 1 \\ 4 \\ \vdots \\ 4 \end{bmatrix} = \begin{bmatrix} 4 \\ 7 \\ \vdots \\ 16 \end{bmatrix}$$

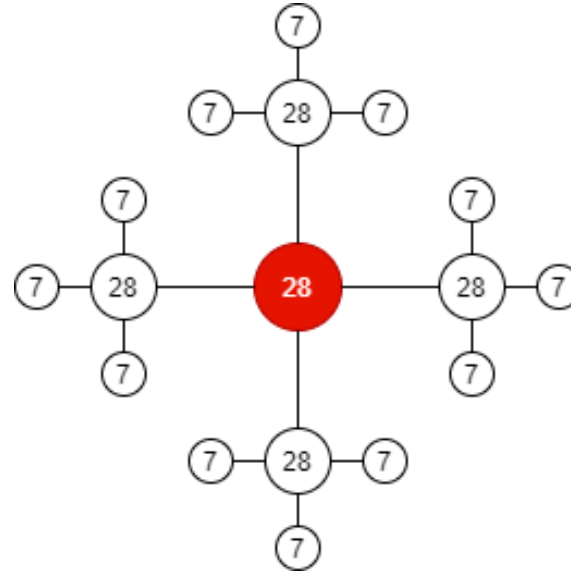


SOLUTIONS EXISTANTES

ANALYSE STRUCTURELLE DU SYSTÈME

Eigenvector centrality

$$A \times \begin{bmatrix} 4 \\ 7 \\ \vdots \\ 16 \end{bmatrix} = \begin{bmatrix} 7 \\ 28 \\ \vdots \\ 28 \end{bmatrix}$$

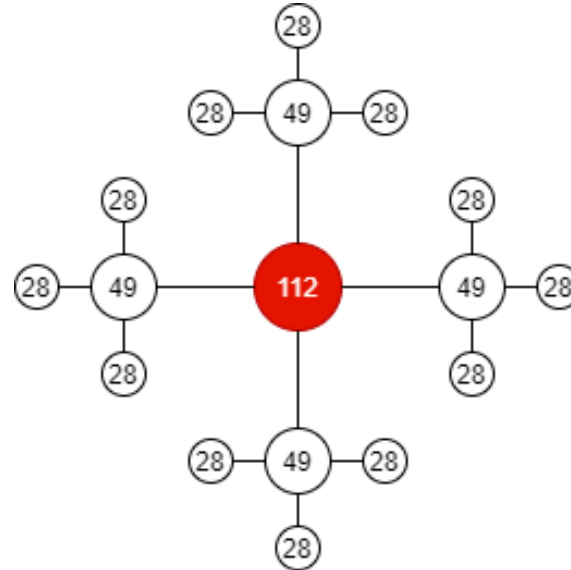


SOLUTIONS EXISTANTES

ANALYSE STRUCTURELLE DU SYSTÈME

Eigenvector centrality

$$A \times \begin{bmatrix} 7 \\ 28 \\ \vdots \\ 28 \end{bmatrix} = \begin{bmatrix} 28 \\ 49 \\ \vdots \\ 112 \end{bmatrix}$$

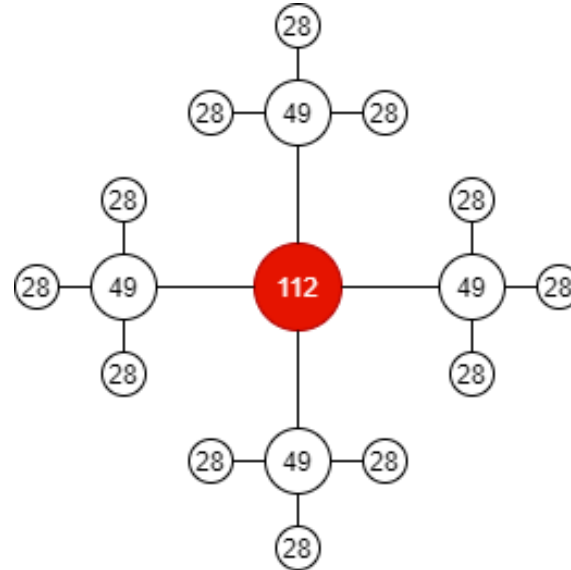


SOLUTIONS EXISTANTES

ANALYSE STRUCTURELLE DU SYSTÈME

Eigenvector centrality

$$A \times \begin{bmatrix} x_1 \\ x_2 \\ \vdots \\ x_n \end{bmatrix} = \begin{bmatrix} \lambda x_1 \\ \lambda x_2 \\ \vdots \\ \lambda x_n \end{bmatrix}$$

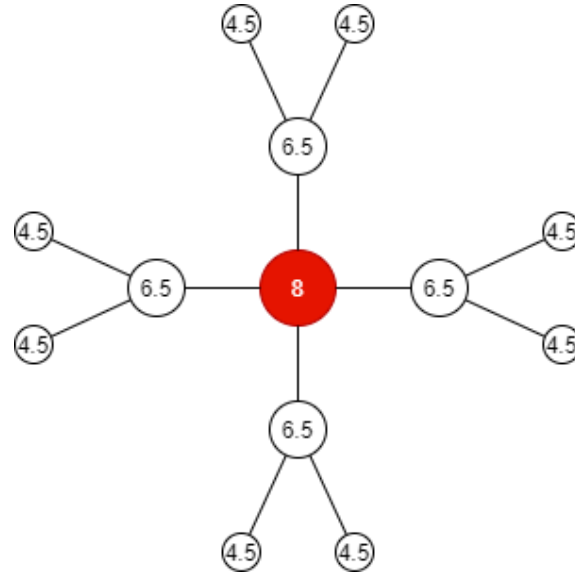


SOLUTIONS EXISTANTES

ANALYSE STRUCTURELLE DU SYSTÈME

Closeness centrality

$$C(x) = \sum_y \frac{1}{d(x, y)}$$

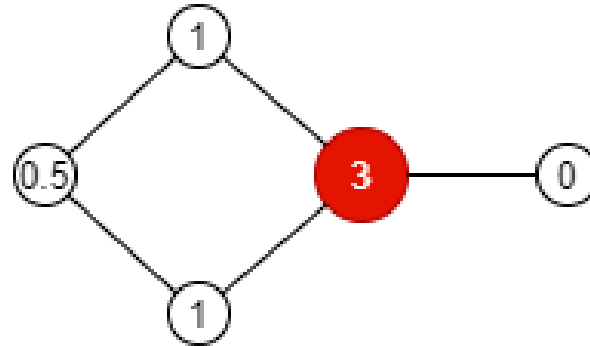


SOLUTIONS EXISTANTES

ANALYSE STRUCTURELLE DU SYSTÈME

Betweenness centrality

$$\sum_{x \neq y \neq z}^N \frac{sp_{yz}(x)}{sp_{yz}}$$

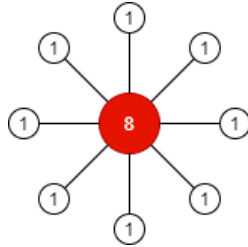


SOLUTIONS EXISTANTES

ANALYSE STRUCTURELLE DU SYSTÈME

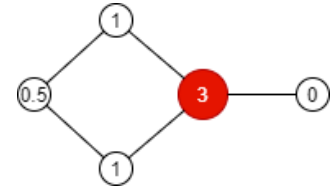
Degree centrality

$$ND_i = \sum_{j=1, j \neq i}^N a_{ij}$$



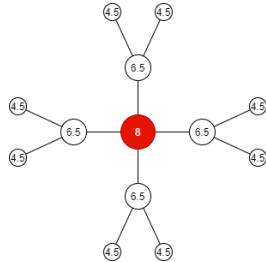
Betweenness centrality

$$BC(x) = \sum_{x \neq y \neq z}^N \frac{\omega_{yz}(x)}{\omega_{yz}}$$



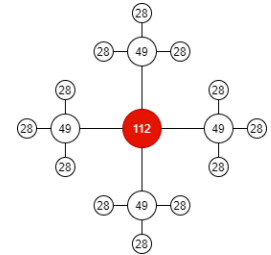
Closeness centrality

$$C(x) = \sum_y \frac{1}{d(x, y)}$$



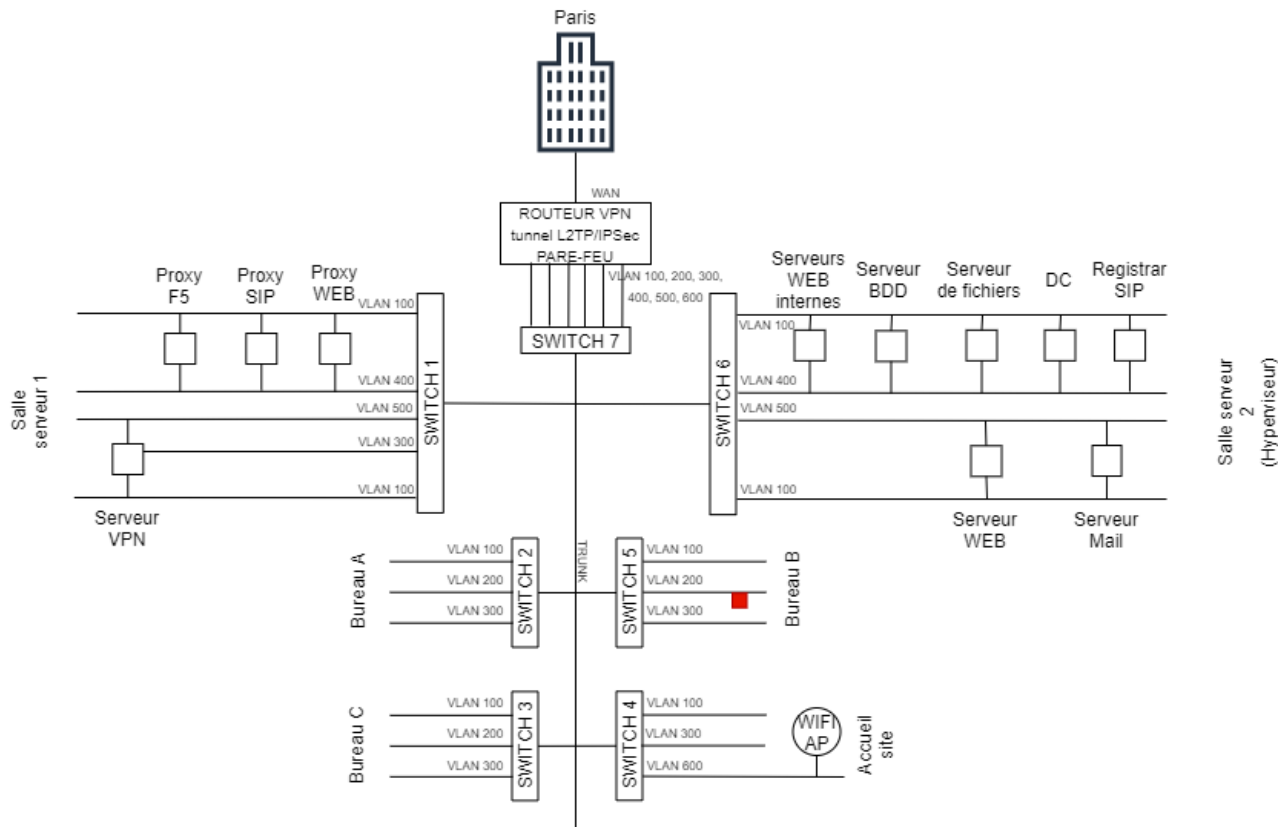
Eigenvector centrality

$$A \times \begin{bmatrix} x_1 \\ x_2 \\ \vdots \\ x_n \end{bmatrix} = \begin{bmatrix} \lambda x_1 \\ \lambda x_2 \\ \vdots \\ \lambda x_n \end{bmatrix}$$



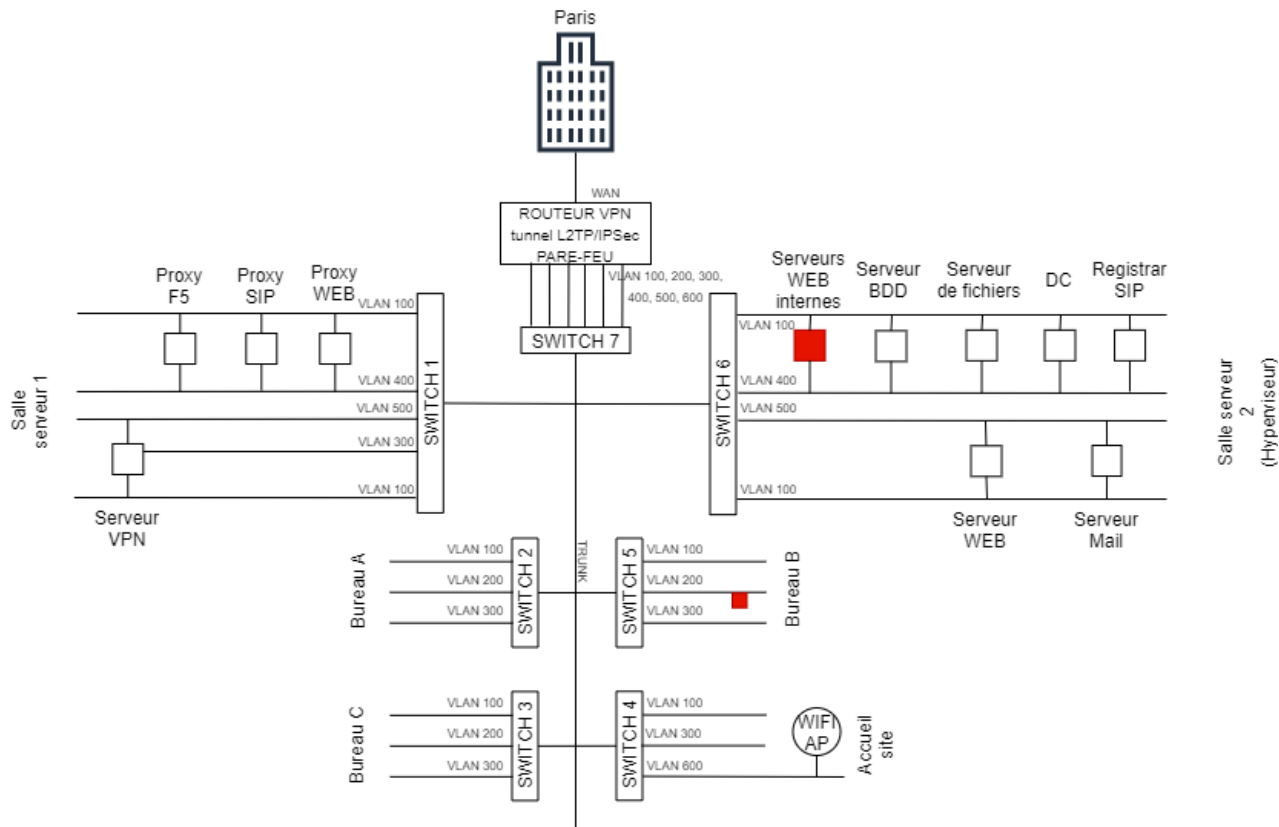
SOLUTIONS EXISTANTES

MODÉLISATION DE LA PROPAGATION D'UN MALWARE



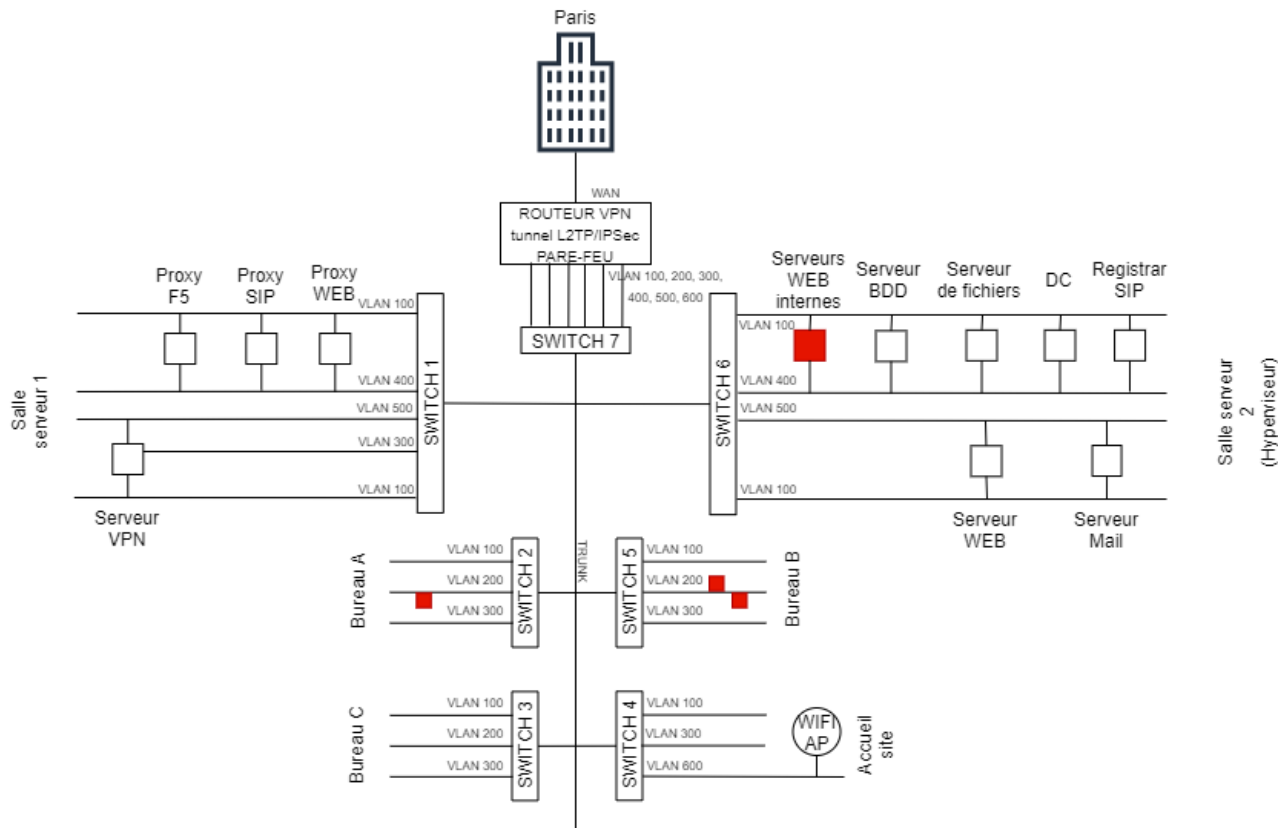
SOLUTIONS EXISTANTES

MODÉLISATION DE LA PROPAGATION D'UN MALWARE



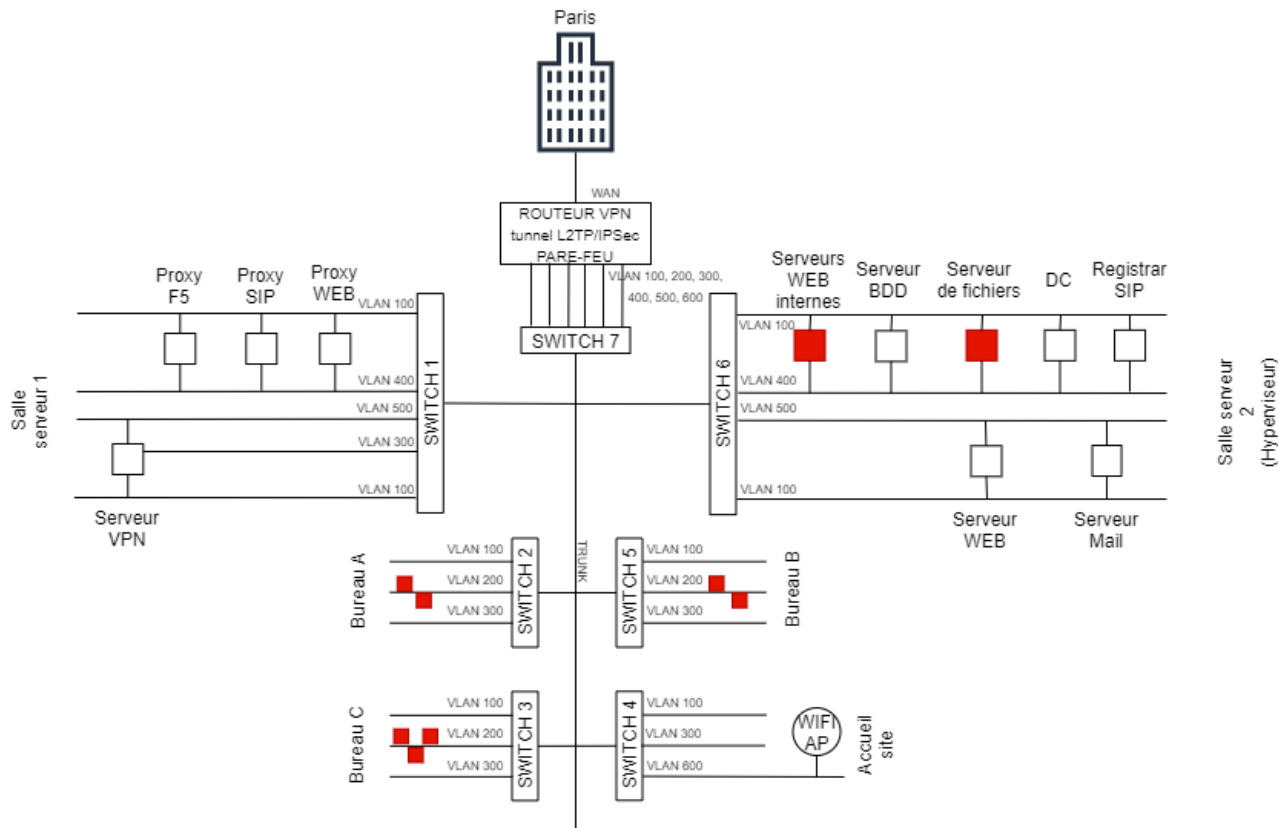
SOLUTIONS EXISTANTES

MODÉLISATION DE LA PROPAGATION D'UN MALWARE



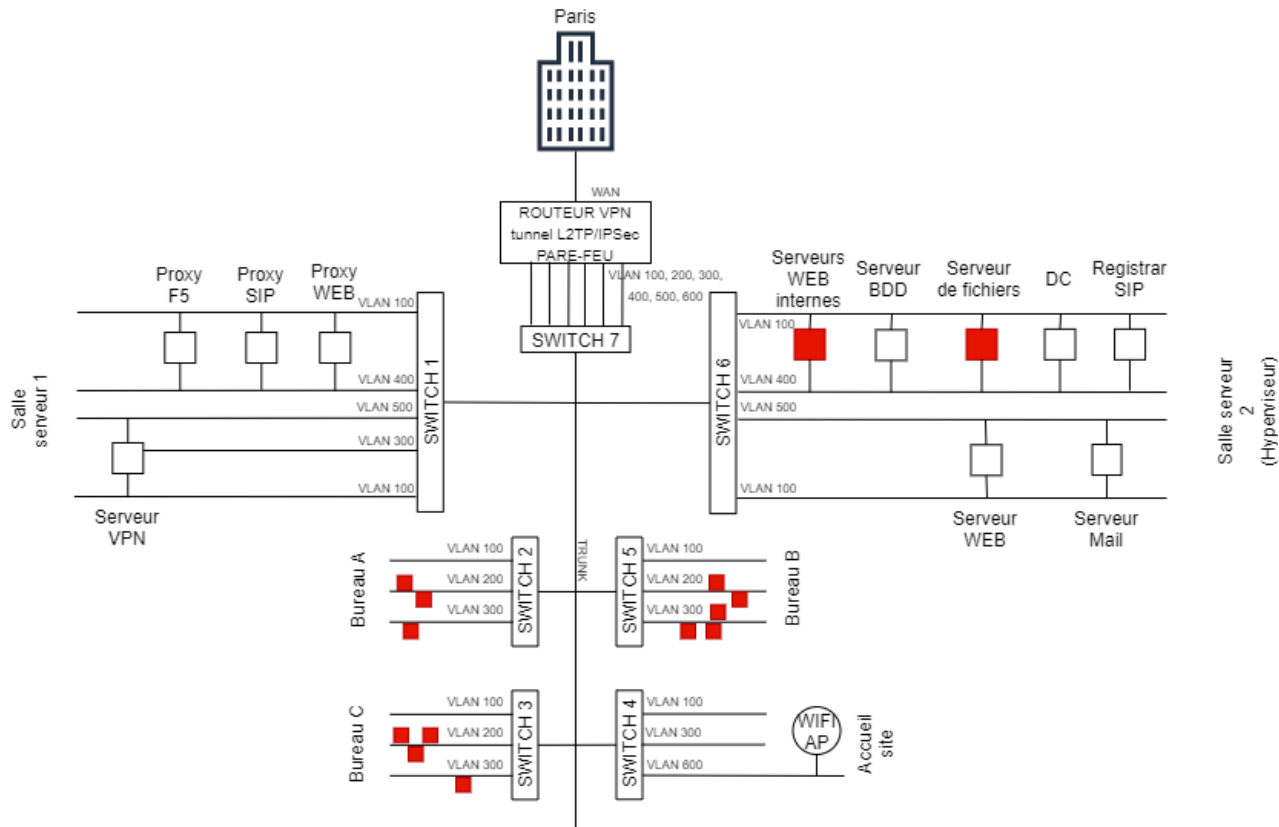
SOLUTIONS EXISTANTES

MODÉLISATION DE LA PROPAGATION D'UN MALWARE



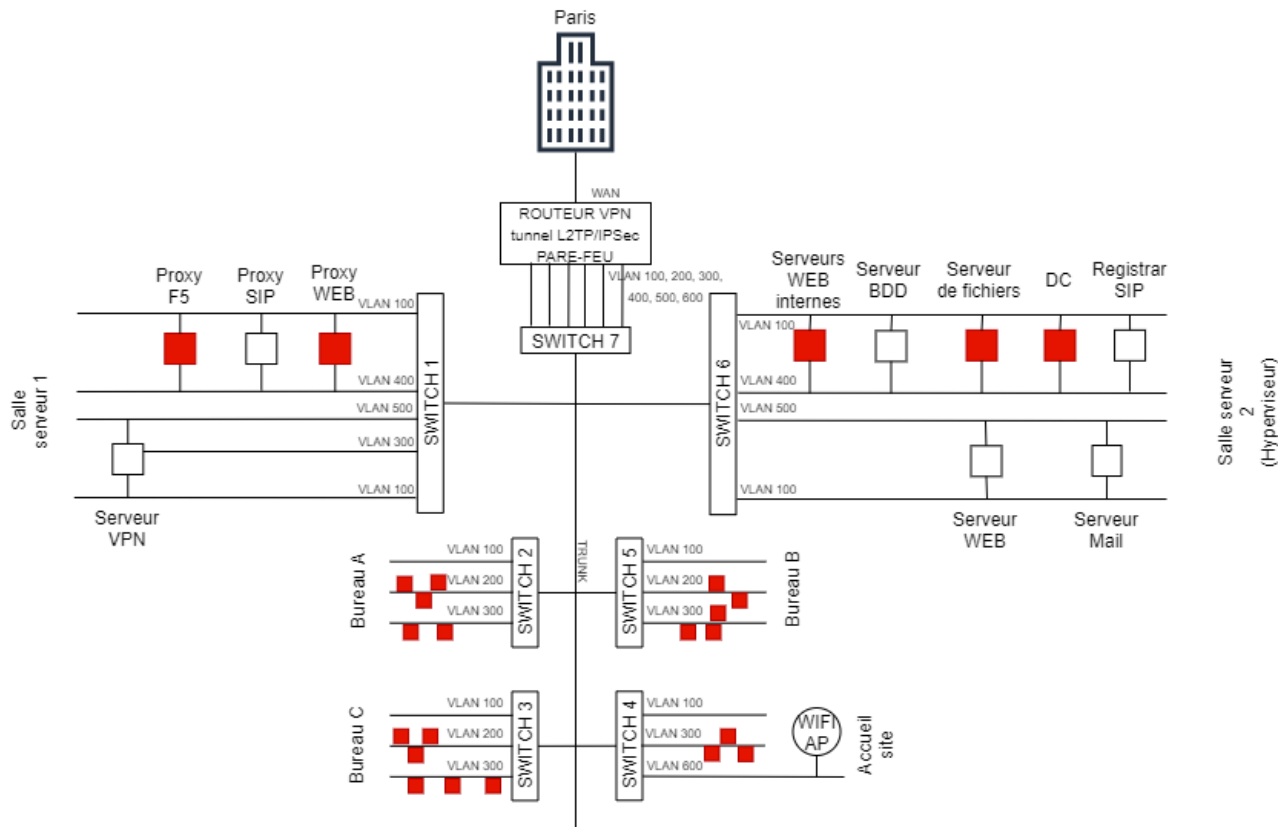
SOLUTIONS EXISTANTES

MODÉLISATION DE LA PROPAGATION D'UN MALWARE



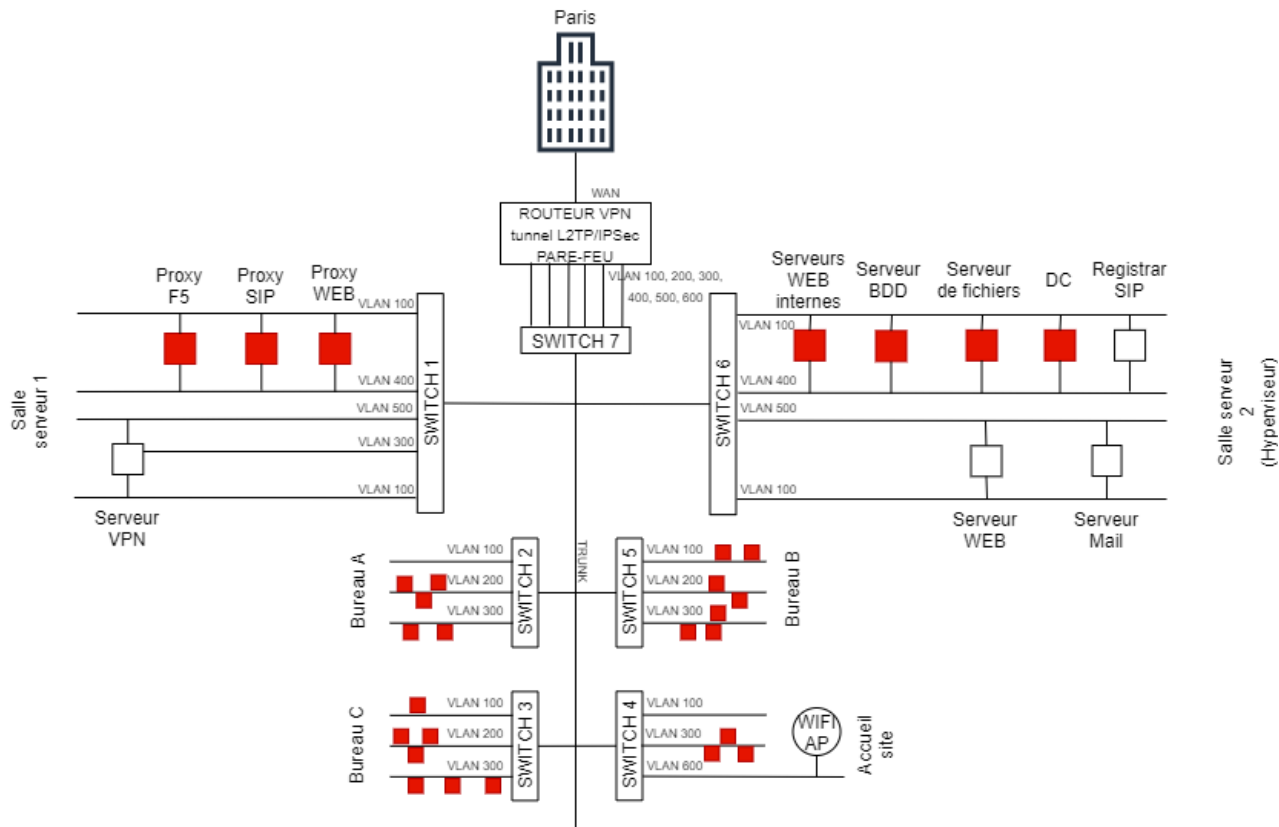
SOLUTIONS EXISTANTES

MODÉLISATION DE LA PROPAGATION D'UN MALWARE



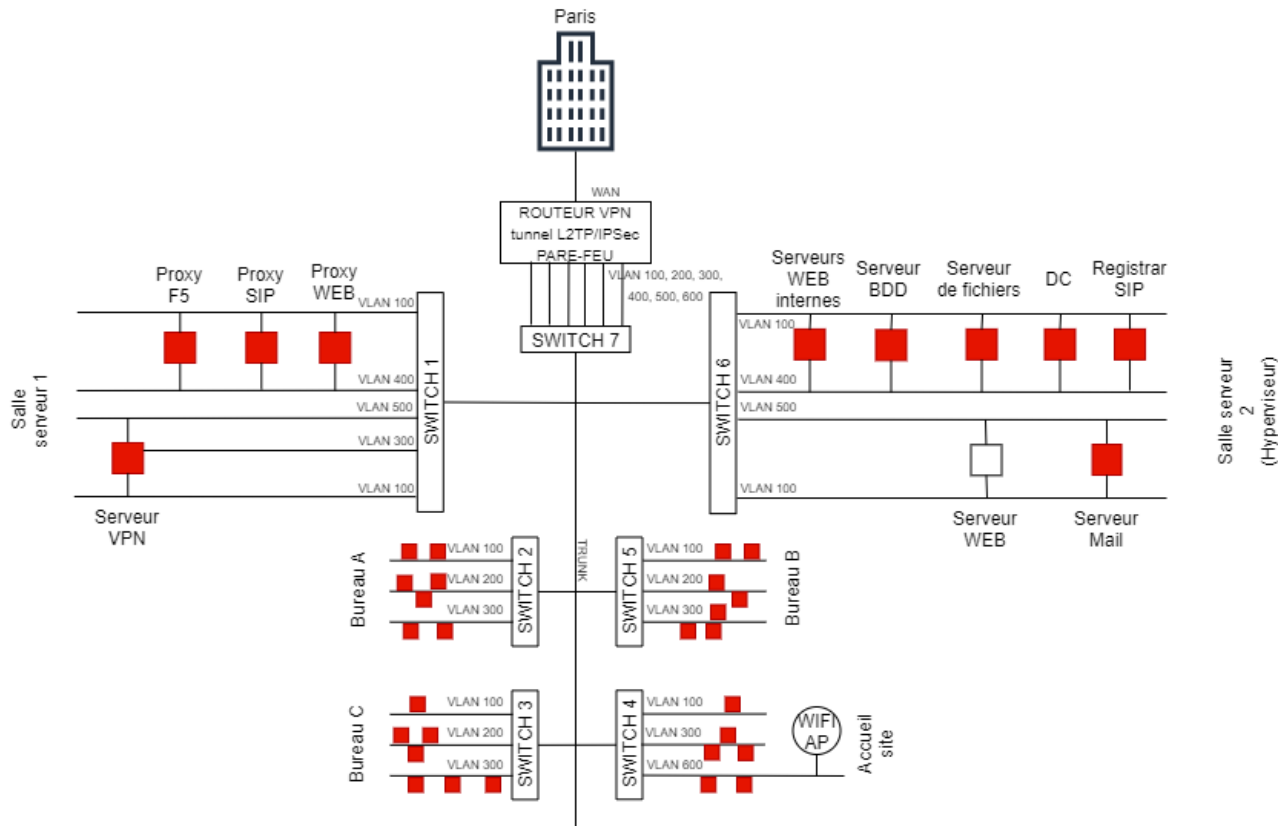
SOLUTIONS EXISTANTES

MODÉLISATION DE LA PROPAGATION D'UN MALWARE



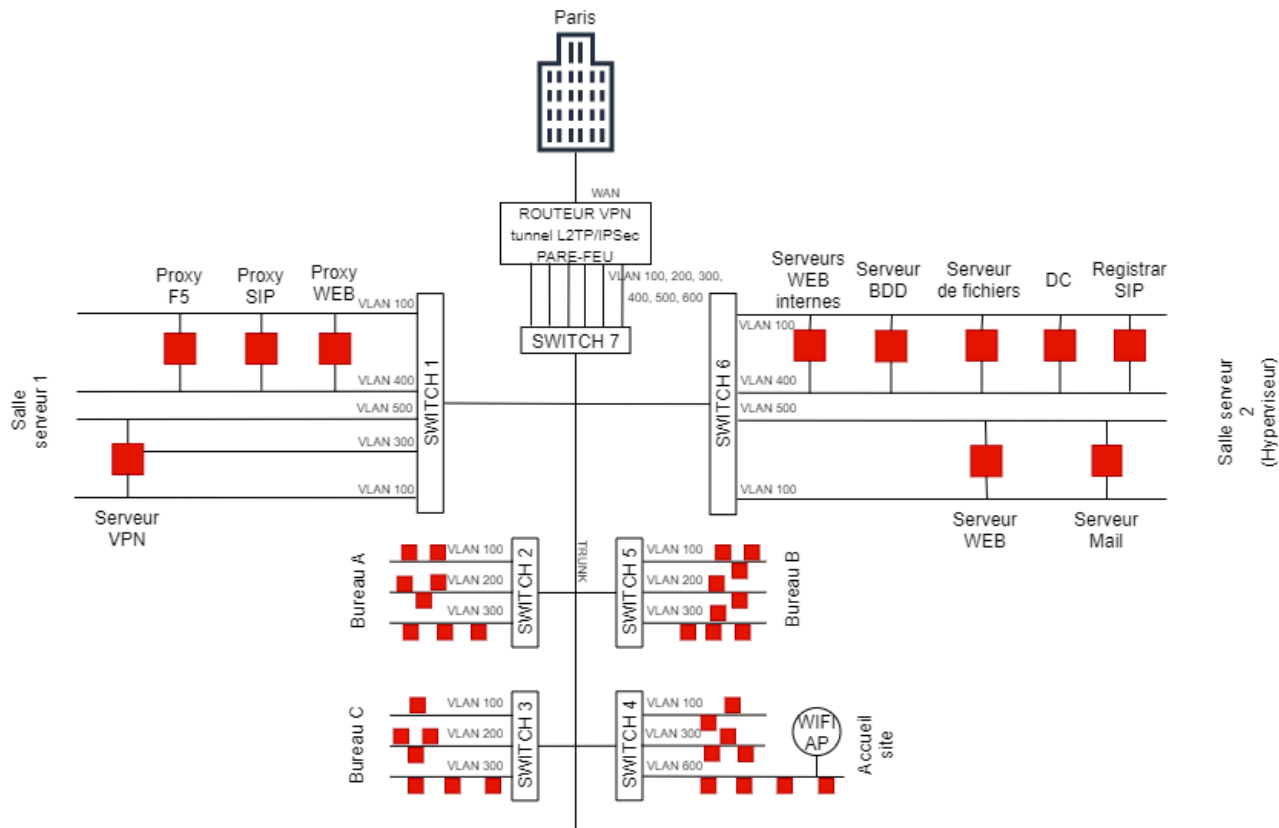
SOLUTIONS EXISTANTES

MODÉLISATION DE LA PROPAGATION D'UN MALWARE



SOLUTIONS EXISTANTES

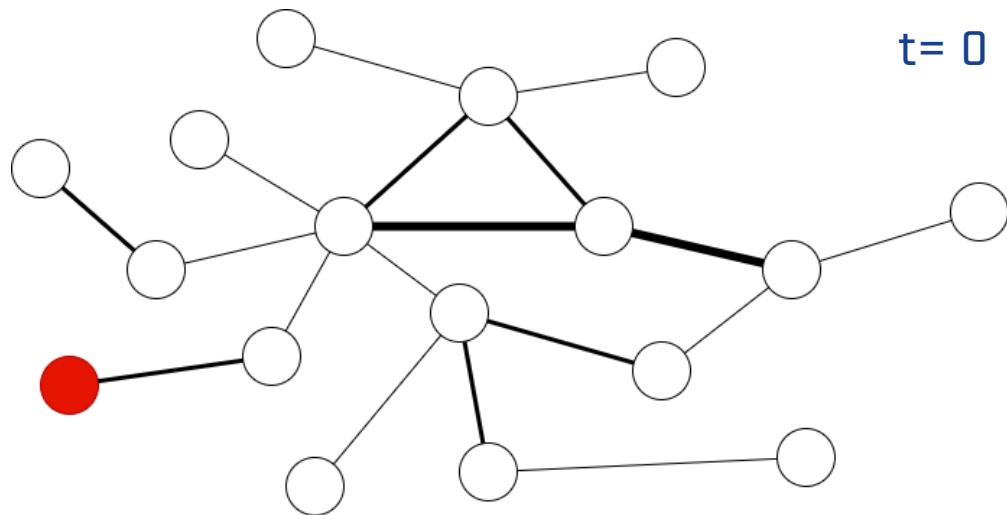
MODÉLISATION DE LA PROPAGATION D'UN MALWARE



SOLUTIONS EXISTANTES

MODÉLISATION DE LA PROPAGATION D'UN MALWARE

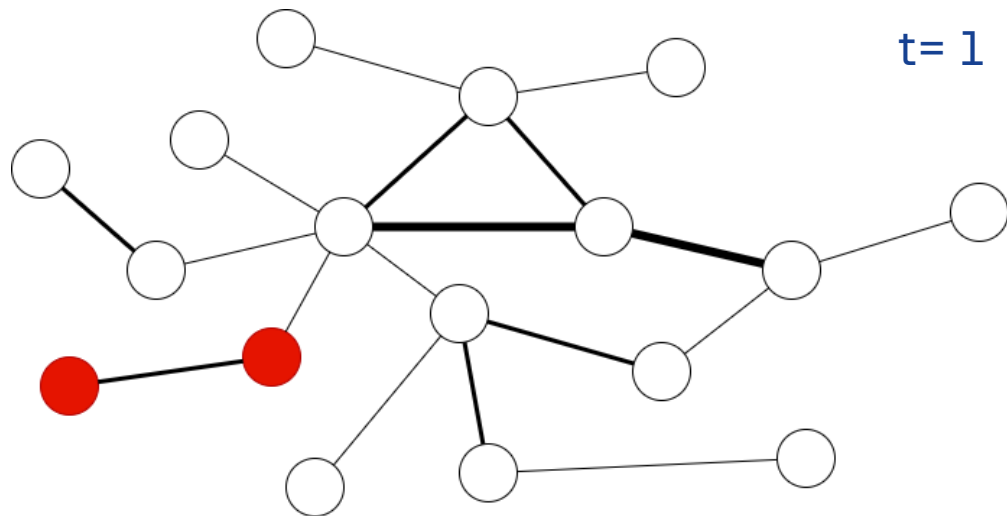
1. Choix du nœud primo-infection
2. Définition pour chaque connexion de :
 1. La fréquence d'utilisation du lien λ
 2. La probabilité de transmission P
3. Propagation du virus au nœud prochain avec une probabilité P
4. Compteur de temps incrémenté en tenant compte du paramètre λ



SOLUTIONS EXISTANTES

MODÉLISATION DE LA PROPAGATION D'UN MALWARE

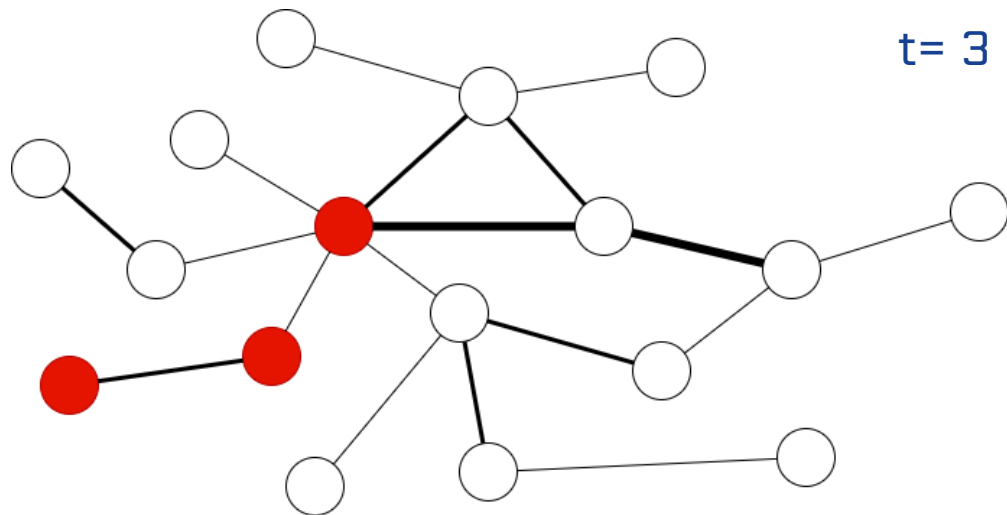
1. Choix du nœud primo-infection
2. Définition pour chaque connexion de :
 1. La fréquence d'utilisation du lien λ
 2. La probabilité de transmission P
3. Propagation du virus au nœud prochain avec une probabilité P
4. Compteur de temps incrémenté en tenant compte du paramètre λ



SOLUTIONS EXISTANTES

MODÉLISATION DE LA PROPAGATION D'UN MALWARE

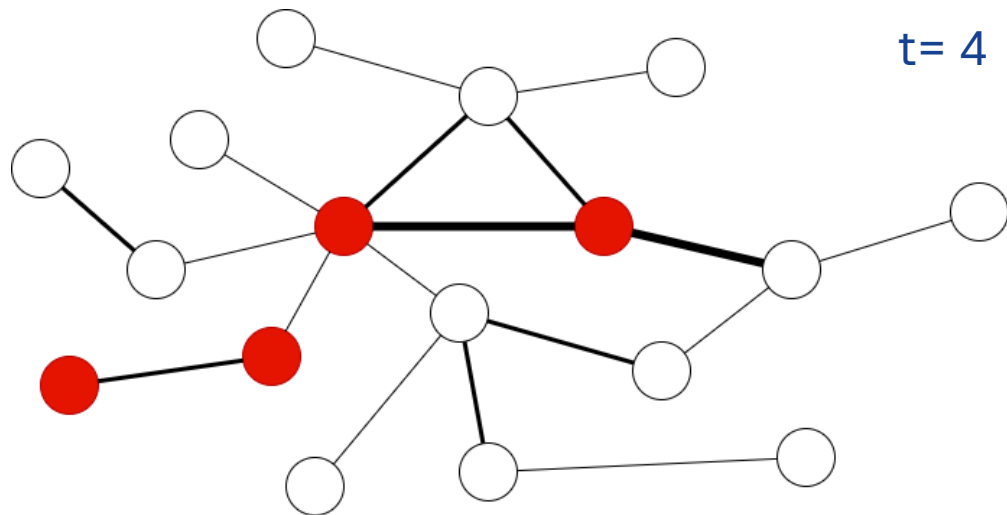
1. Choix du nœud primo-infection
2. Définition pour chaque connexion de :
 1. La fréquence d'utilisation du lien λ
 2. La probabilité de transmission P
3. Propagation du virus au nœud prochain avec une probabilité P
4. Compteur de temps incrémenté en tenant compte du paramètre λ



SOLUTIONS EXISTANTES

MODÉLISATION DE LA PROPAGATION D'UN MALWARE

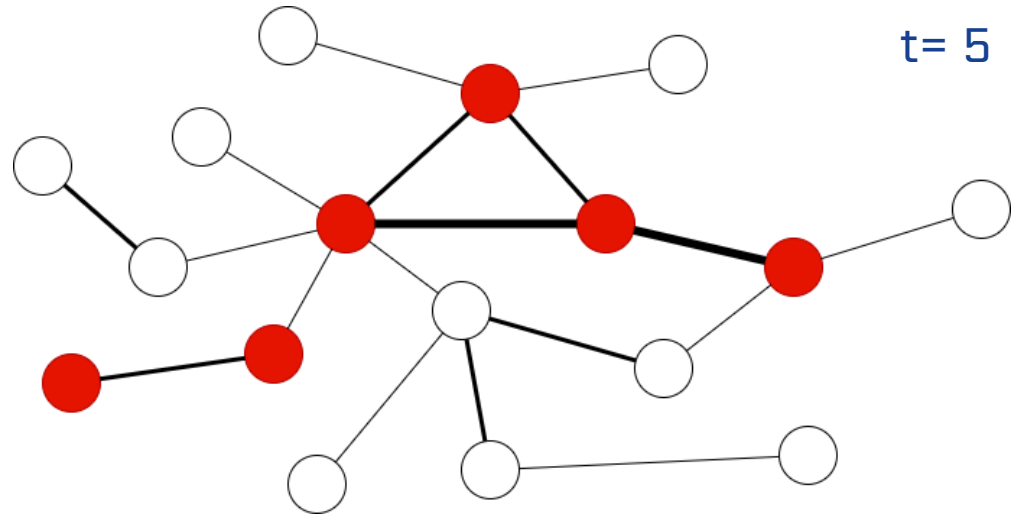
1. Choix du nœud primo-infection
2. Définition pour chaque connexion de :
 1. La fréquence d'utilisation du lien λ
 2. La probabilité de transmission P
3. Propagation du virus au nœud prochain avec une probabilité P
4. Compteur de temps incrémenté en tenant compte du paramètre λ



SOLUTIONS EXISTANTES

MODÉLISATION DE LA PROPAGATION D'UN MALWARE

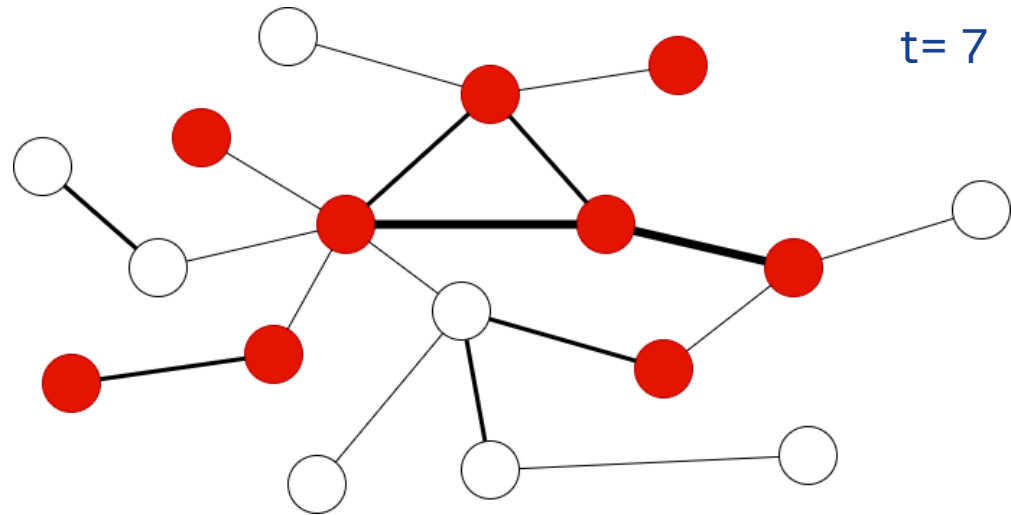
1. Choix du nœud primo-infection
2. Définition pour chaque connexion de :
 1. La fréquence d'utilisation du lien λ
 2. La probabilité de transmission P
3. Propagation du virus au nœud prochain avec une probabilité P
4. Compteur de temps incrémenté en tenant compte du paramètre λ



SOLUTIONS EXISTANTES

MODÉLISATION DE LA PROPAGATION D'UN MALWARE

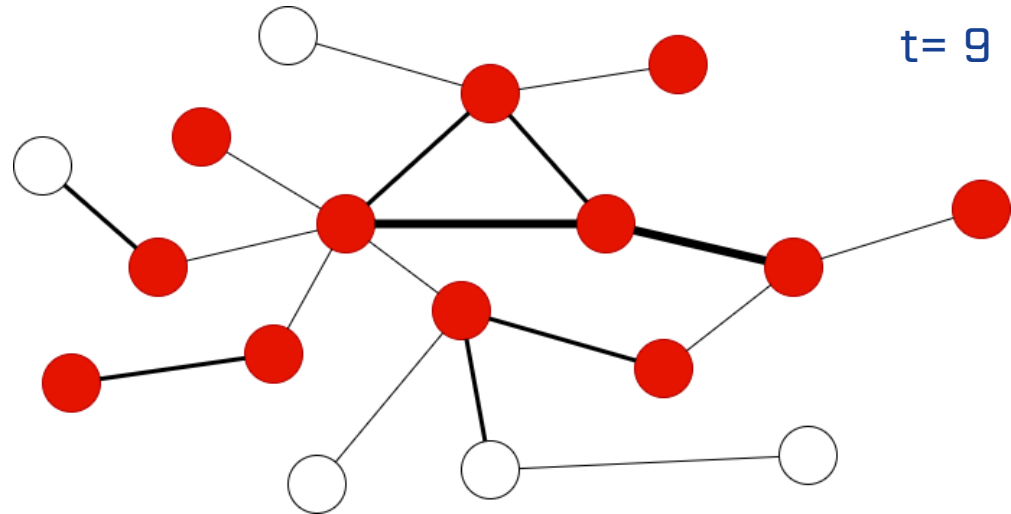
1. Choix du nœud primo-infection
2. Définition pour chaque connexion de :
 1. La fréquence d'utilisation du lien λ
 2. La probabilité de transmission P
3. Propagation du virus au nœud prochain avec une probabilité P
4. Compteur de temps incrémenté en tenant compte du paramètre λ



SOLUTIONS EXISTANTES

MODÉLISATION DE LA PROPAGATION D'UN MALWARE

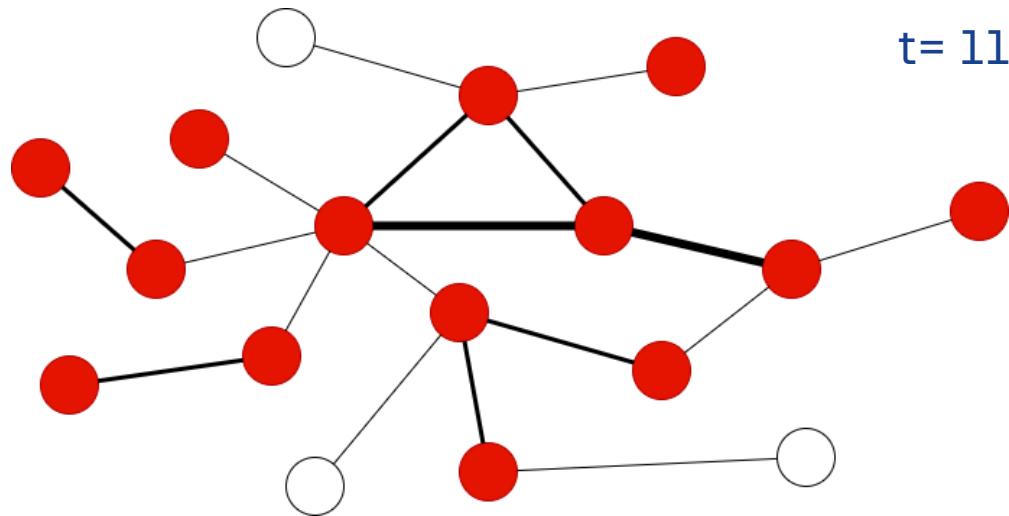
1. Choix du nœud primo-infection
2. Définition pour chaque connexion de :
 1. La fréquence d'utilisation du lien λ
 2. La probabilité de transmission P
3. Propagation du virus au nœud prochain avec une probabilité P
4. Compteur de temps incrémenté en tenant compte du paramètre λ



SOLUTIONS EXISTANTES

MODÉLISATION DE LA PROPAGATION D'UN MALWARE

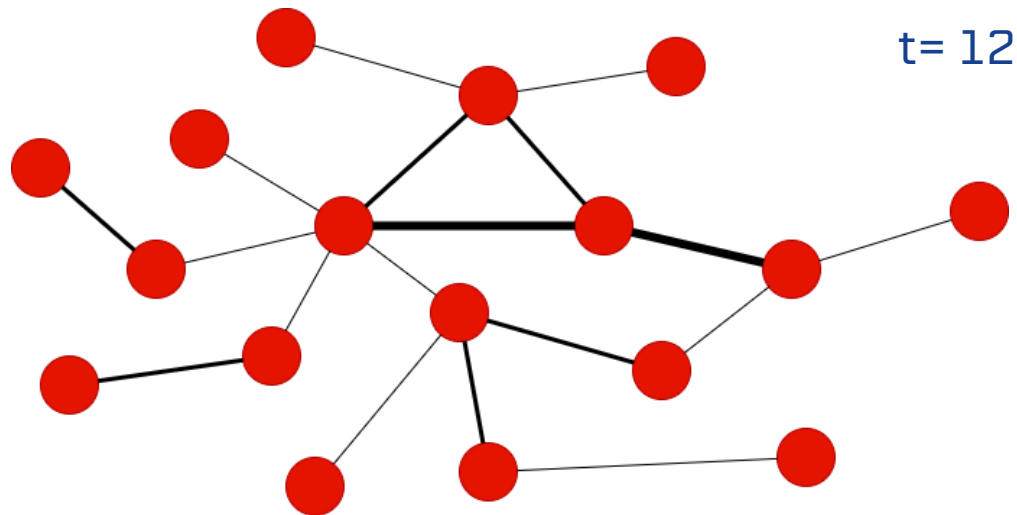
1. Choix du nœud primo-infection
2. Définition pour chaque connexion de :
 1. La fréquence d'utilisation du lien λ
 2. La probabilité de transmission P
3. Propagation du virus au nœud prochain avec une probabilité P
4. Compteur de temps incrémenté en tenant compte du paramètre λ



SOLUTIONS EXISTANTES

MODÉLISATION DE LA PROPAGATION D'UN MALWARE

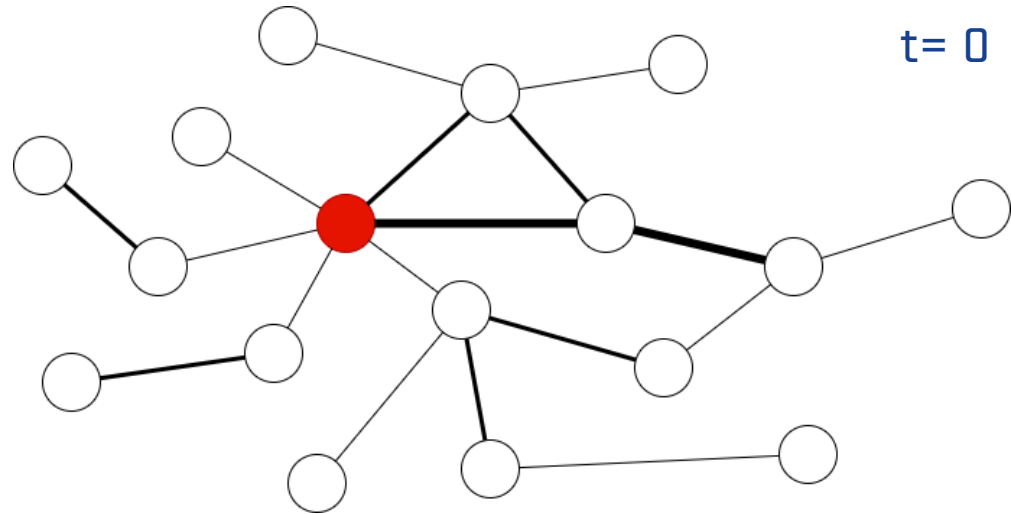
1. Choix du nœud primo-infection
2. Définition pour chaque connexion de :
 1. La fréquence d'utilisation du lien λ
 2. La probabilité de transmission P
3. Propagation du virus au nœud prochain avec une probabilité P
4. Compteur de temps incrémenté en tenant compte du paramètre λ



SOLUTIONS EXISTANTES

MODÉLISATION DE LA PROPAGATION D'UN MALWARE

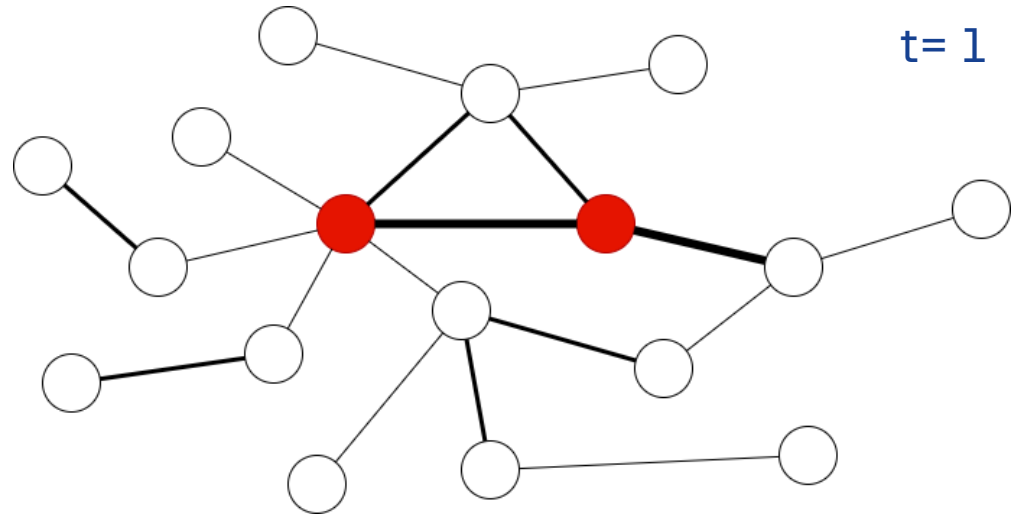
1. Choix du nœud primo-infection
2. Définition pour chaque connexion de :
 1. La fréquence d'utilisation du lien λ
 2. La probabilité de transmission P
3. Propagation du virus au nœud prochain avec une probabilité P
4. Compteur de temps incrémenté en tenant compte du paramètre λ



SOLUTIONS EXISTANTES

MODÉLISATION DE LA PROPAGATION D'UN MALWARE

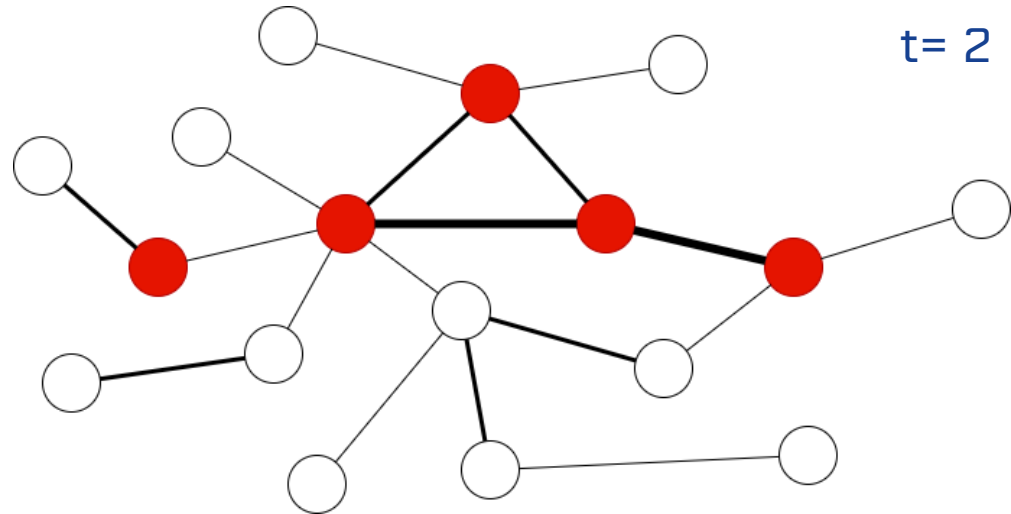
1. Choix du nœud primo-infection
2. Définition pour chaque connexion de :
 1. La fréquence d'utilisation du lien λ
 2. La probabilité de transmission P
3. Propagation du virus au nœud prochain avec une probabilité P
4. Compteur de temps incrémenté en tenant compte du paramètre λ



SOLUTIONS EXISTANTES

MODÉLISATION DE LA PROPAGATION D'UN MALWARE

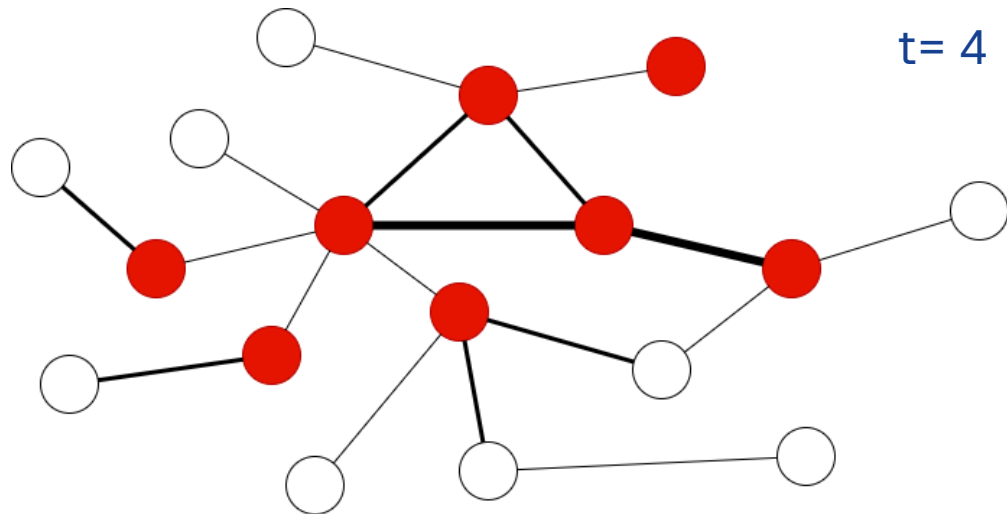
1. Choix du nœud primo-infection
2. Définition pour chaque connexion de :
 1. La fréquence d'utilisation du lien λ
 2. La probabilité de transmission P
3. Propagation du virus au nœud prochain avec une probabilité P
4. Compteur de temps incrémenté en tenant compte du paramètre λ



SOLUTIONS EXISTANTES

MODÉLISATION DE LA PROPAGATION D'UN MALWARE

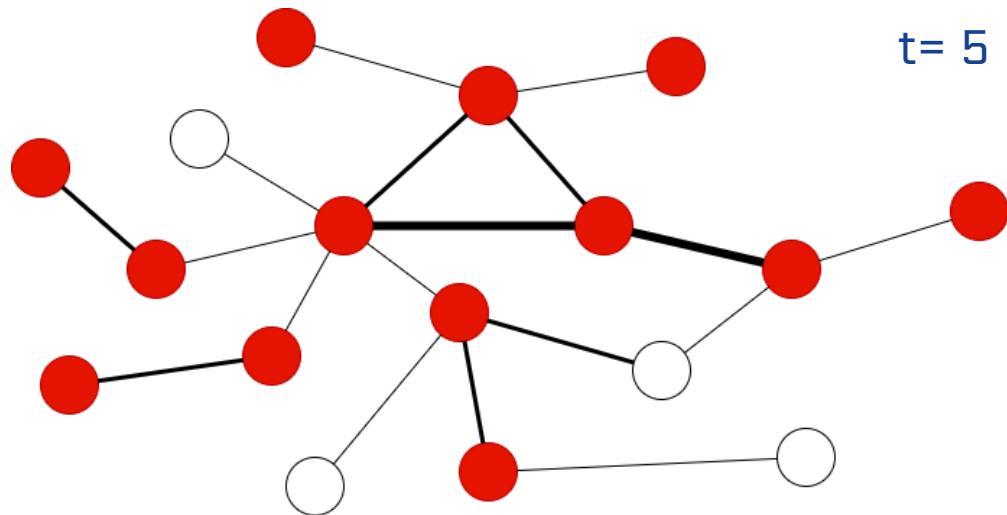
1. Choix du nœud primo-infection
2. Définition pour chaque connexion de :
 1. La fréquence d'utilisation du lien λ
 2. La probabilité de transmission P
3. Propagation du virus au nœud prochain avec une probabilité P
4. Compteur de temps incrémenté en tenant compte du paramètre λ



SOLUTIONS EXISTANTES

MODÉLISATION DE LA PROPAGATION D'UN MALWARE

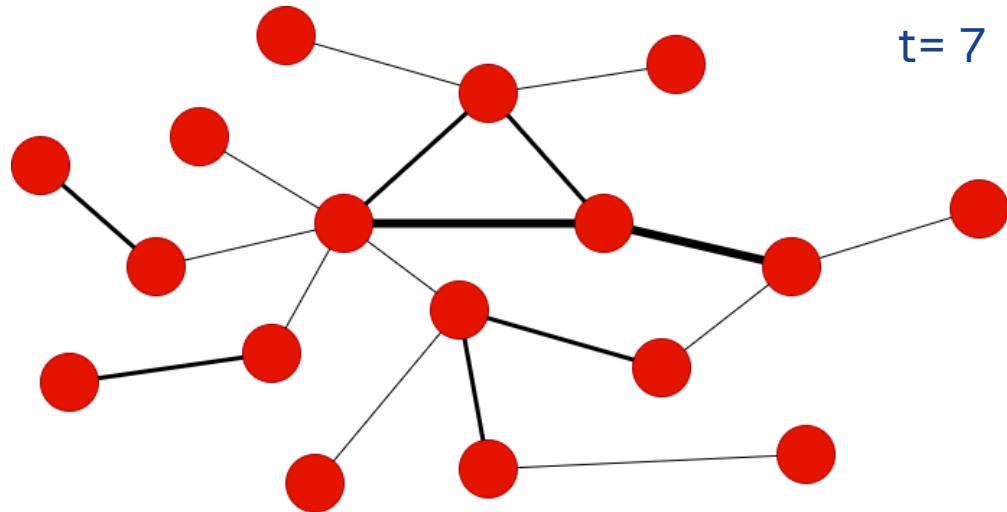
1. Choix du nœud primo-infection
2. Définition pour chaque connexion de :
 1. La fréquence d'utilisation du lien λ
 2. La probabilité de transmission P
3. Propagation du virus au nœud prochain avec une probabilité P
4. Compteur de temps incrémenté en tenant compte du paramètre λ



SOLUTIONS EXISTANTES

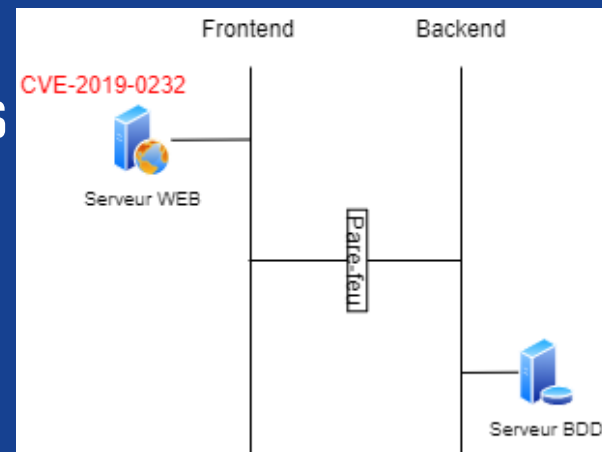
MODÉLISATION DE LA PROPAGATION D'UN MALWARE

1. Choix du nœud primo-infection
2. Définition pour chaque connexion de :
 1. La fréquence d'utilisation du lien λ
 2. La probabilité de transmission P
3. Propagation du virus au nœud prochain avec une probabilité P
4. Compteur de temps incrémenté en tenant compte du paramètre λ



SOLUTIONS EXISTANTES

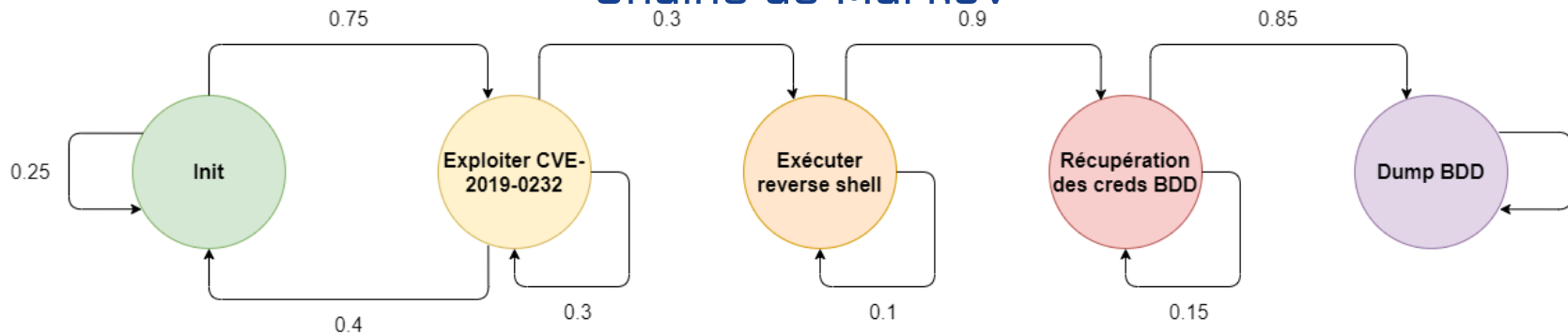
MODÉLISATION DE SCÉNARIOS D'ATTAQUES



SOLUTIONS EXISTANTES

MODÉLISATION DE SCÉNARIOS D'ATTAQUES

Chaîne de Markov

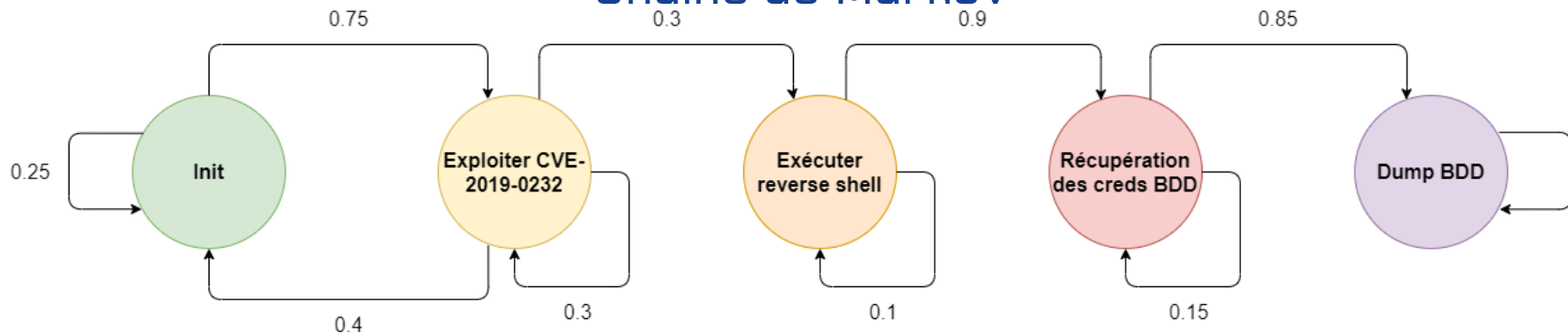


$$S_0 = [1 \quad 0 \quad 0 \quad 0 \quad 0]$$
$$P = \begin{matrix} & \begin{matrix} To \\ \end{matrix} \\ \begin{matrix} From \\ \end{matrix} & \begin{pmatrix} 0.25 & 0.75 & 0 & 0 & 0 \\ 0.4 & 0.3 & 0.3 & 0 & 0 \\ 0 & 0 & 0.1 & 0.9 & 0 \\ 0 & 0 & 0 & 0.15 & 0.85 \\ 0 & 0 & 0 & 0 & 1 \end{pmatrix} \end{matrix}$$

SOLUTIONS EXISTANTES

MODÉLISATION DE SCÉNARIOS D'ATTAQUES

Chaîne de Markov

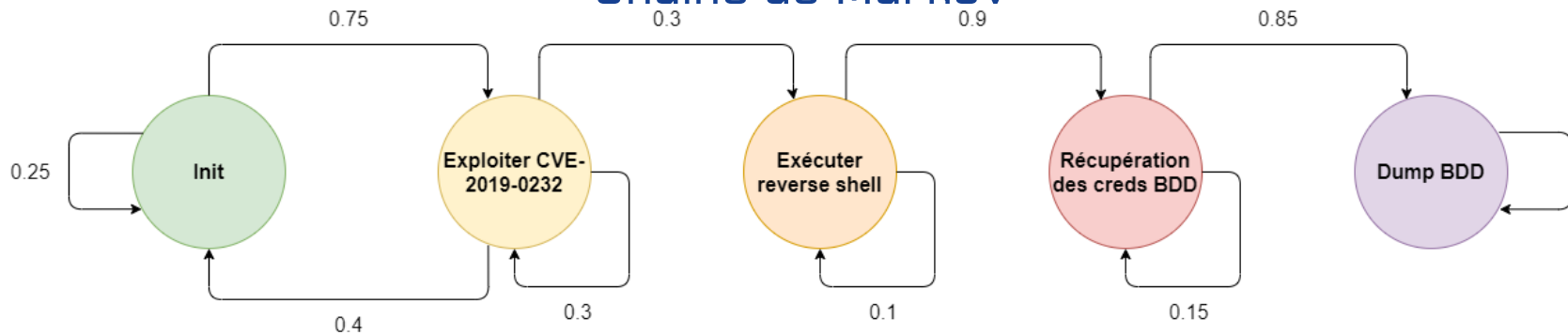


$$S_1 = [1 \ 0 \ 0 \ 0 \ 0] \times \begin{bmatrix} 0.25 & 0.75 & 0 & 0 & 0 \\ 0.4 & 0.3 & 0.3 & 0 & 0 \\ 0 & 0 & 0.1 & 0.9 & 0 \\ 0 & 0 & 0 & 0.15 & 0.85 \\ 0 & 0 & 0 & 0 & 1 \end{bmatrix} = [0.25 \ 0.75 \ 0 \ 0 \ 0]$$

SOLUTIONS EXISTANTES

MODÉLISATION DE SCÉNARIOS D'ATTAQUES

Chaîne de Markov

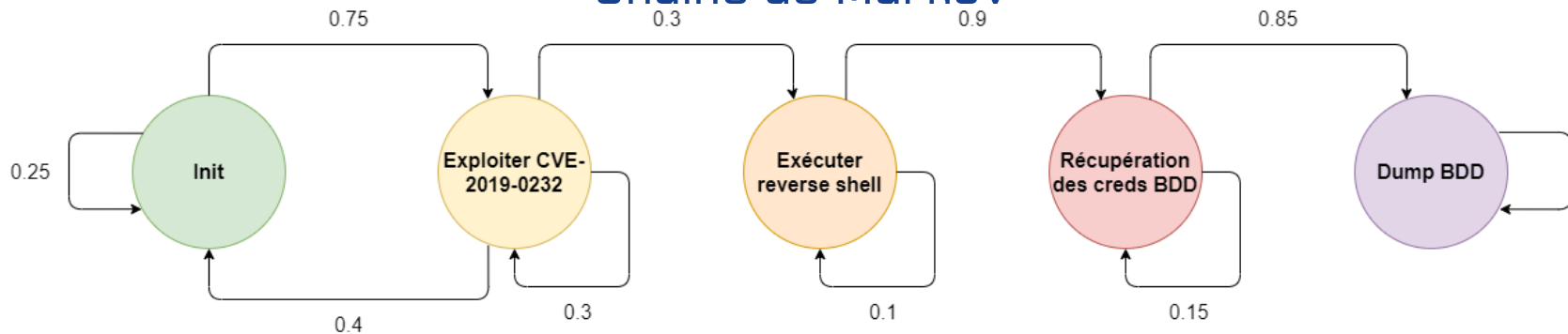


$$S_2 = [0.25 \quad 0.75 \quad 0 \quad 0 \quad 0] \times \begin{bmatrix} 0.25 & 0.75 & 0 & 0 & 0 \\ 0.4 & 0.3 & 0.3 & 0 & 0 \\ 0 & 0 & 0.1 & 0.9 & 0 \\ 0 & 0 & 0 & 0.15 & 0.85 \\ 0 & 0 & 0 & 0 & 1 \end{bmatrix} = [0.36 \quad 0.41 \quad 0.23 \quad 0 \quad 0]$$

SOLUTIONS EXISTANTES

MODÉLISATION DE SCÉNARIOS D'ATTAQUES

Chaîne de Markov

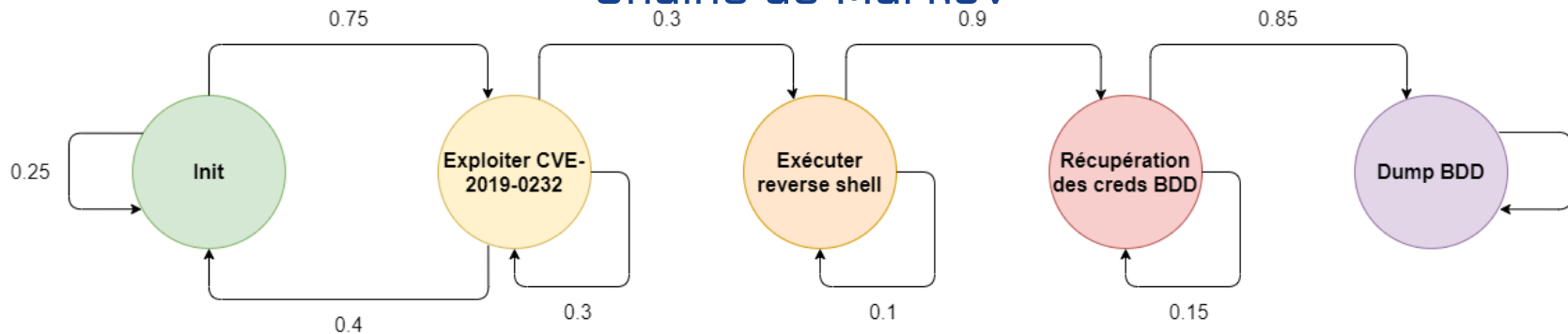


$$S_3 = [0.36 \quad 0.41 \quad 0.23 \quad 0 \quad 0] \times \begin{bmatrix} 0.25 & 0.75 & 0 & 0 & 0 \\ 0.4 & 0.3 & 0.3 & 0 & 0 \\ 0 & 0 & 0.1 & 0.9 & 0 \\ 0 & 0 & 0 & 0.15 & 0.85 \\ 0 & 0 & 0 & 0 & 1 \end{bmatrix} = [0.25 \quad 0.40 \quad 0.15 \quad 0.20 \quad 0]$$

SOLUTIONS EXISTANTES

MODÉLISATION DE SCÉNARIOS D'ATTAQUES

Chaîne de Markov

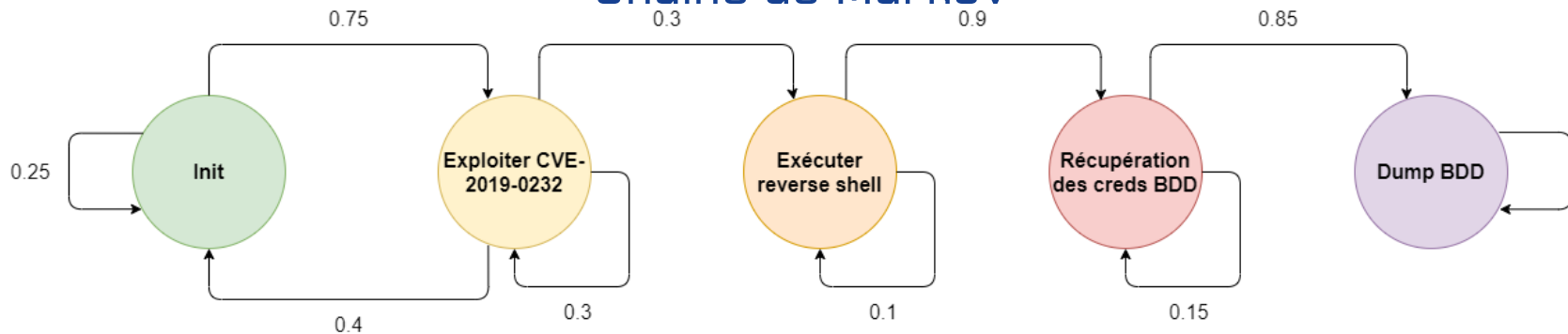


$$S_4 = [0.25 \quad 0.40 \quad 0.15 \quad 0.20 \quad 0] \times \begin{bmatrix} 0.25 & 0.75 & 0 & 0 & 0 \\ 0.4 & 0.3 & 0.3 & 0 & 0 \\ 0 & 0 & 0.1 & 0.9 & 0 \\ 0 & 0 & 0 & 0.15 & 0.85 \\ 0 & 0 & 0 & 0 & 1 \end{bmatrix} = [0.22 \quad 0.3 \quad 0.14 \quad 0.17 \quad 0.17]$$

SOLUTIONS EXISTANTES

MODÉLISATION DE SCÉNARIOS D'ATTAQUES

Chaîne de Markov



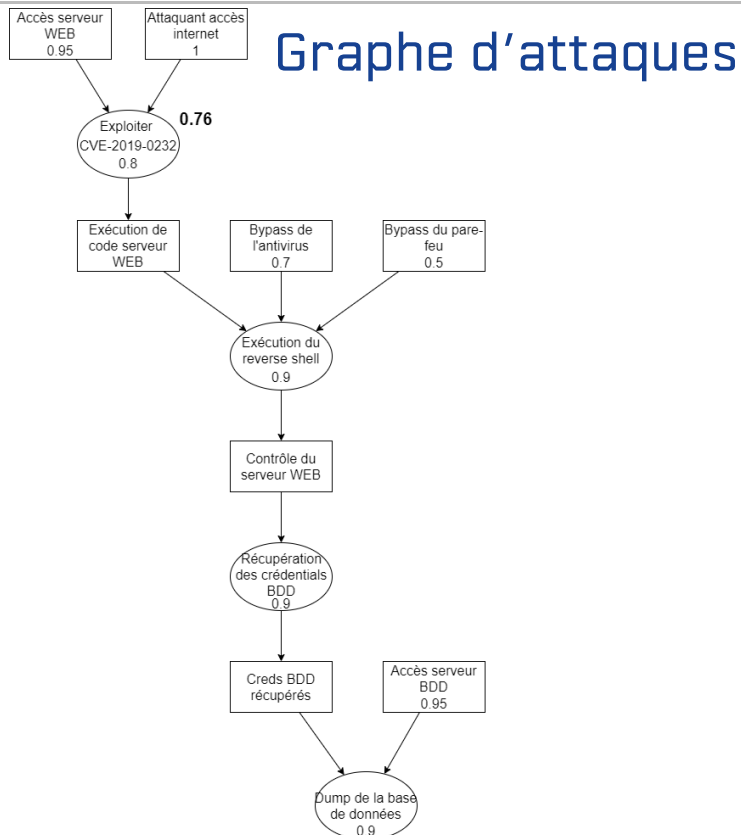
$$S \times P = S$$

$$\Rightarrow \begin{cases} s_0 + s_1 + \dots + s_n = 1 \\ s_0 * a_{00} + s_1 * a_{10} + \dots + s_n * a_{n0} = s_0 \\ s_0 * a_{01} + s_1 * a_{11} + \dots + s_n * a_{n1} = s_1 \\ \vdots \\ s_0 * a_{0n} + s_1 * a_{1n} + \dots + s_n * a_{nn} = s_n \end{cases}$$

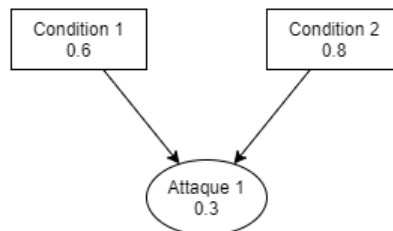
$$S_{stable} = [0 \quad 0 \quad 0 \quad 0 \quad 1]$$

SOLUTIONS EXISTANTES

MODÉLISATION DE SCÉNARIOS D'ATTAQUES

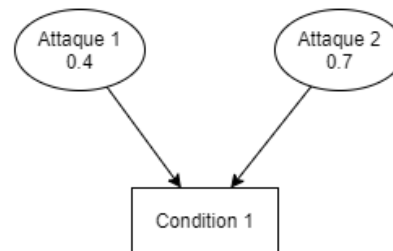


Règles de calculs



$$P\left(\bigcap_{i=0}^n X_i\right) = \prod_{i=0}^n P(X_i)$$

$$P(\text{Condition1} \cap \text{Condition2} \cap \text{Attaque1}) = 0.6 \times 0.8 \times 0.3 = 0.144$$

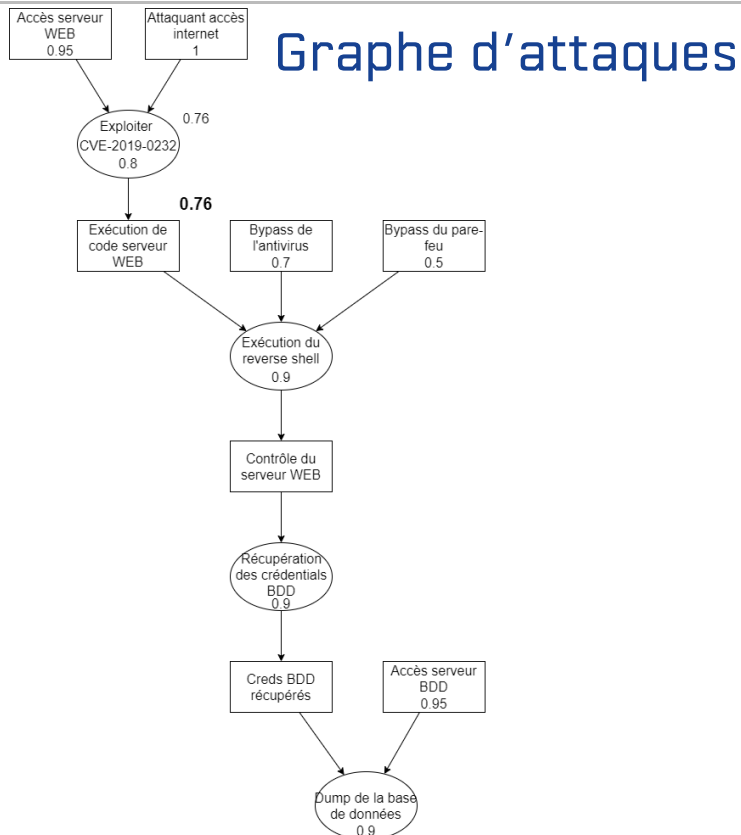


$$P\left(\bigcup_{i=0}^n X_i\right) = 1 - \prod_{i=0}^n P(\overline{X_i})$$

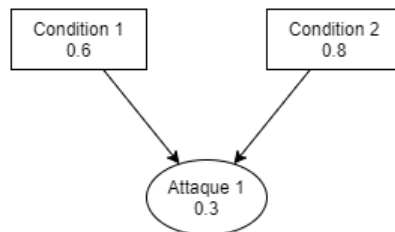
$$P(\text{Attaque1} \cup \text{Attaque2}) = 1 - 0.6 \times 0.3 = 0.82$$

SOLUTIONS EXISTANTES

MODÉLISATION DE SCÉNARIOS D'ATTAQUES

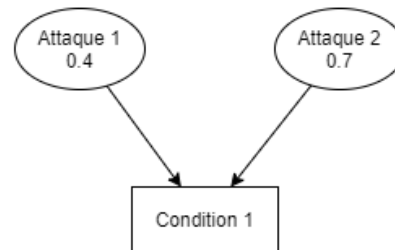


Règles de calculs



$$P\left(\bigcap_{i=0}^n X_i\right) = \prod_{i=0}^n P(X_i)$$

$$P(\text{Condition1} \cap \text{Condition2} \cap \text{Attaque1}) = 0.6 \times 0.8 \times 0.3 = 0.144$$

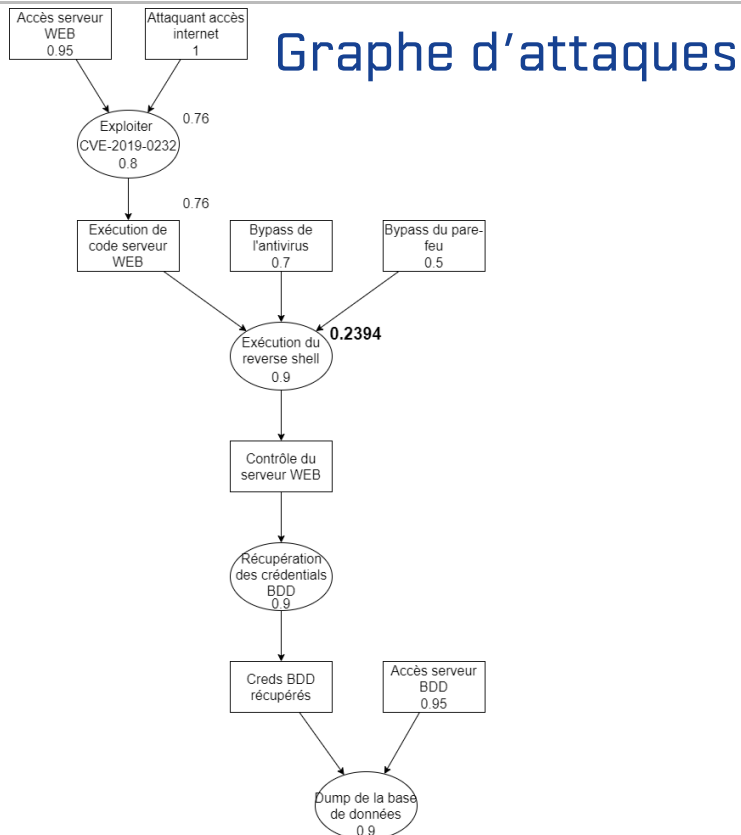


$$P\left(\bigcup_{i=0}^n X_i\right) = 1 - \prod_{i=0}^n P(\overline{X_i})$$

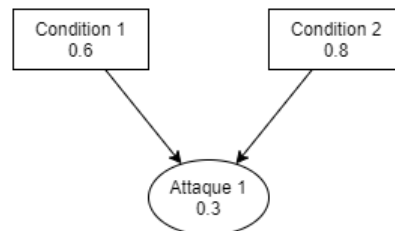
$$P(\text{Attaque1} \cup \text{Attaque2}) = 1 - 0.6 \times 0.3 = 0.82$$

SOLUTIONS EXISTANTES

MODÉLISATION DE SCÉNARIOS D'ATTAQUES

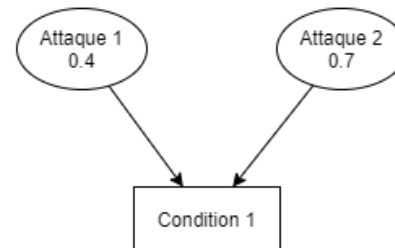


Règles de calculs



$$P\left(\bigcap_{i=0}^n X_i\right) = \prod_{i=0}^n P(X_i)$$

$$P(\text{Condition1} \cap \text{Condition2} \cap \text{Attaque1}) = 0.6 \times 0.8 \times 0.3 = 0.144$$

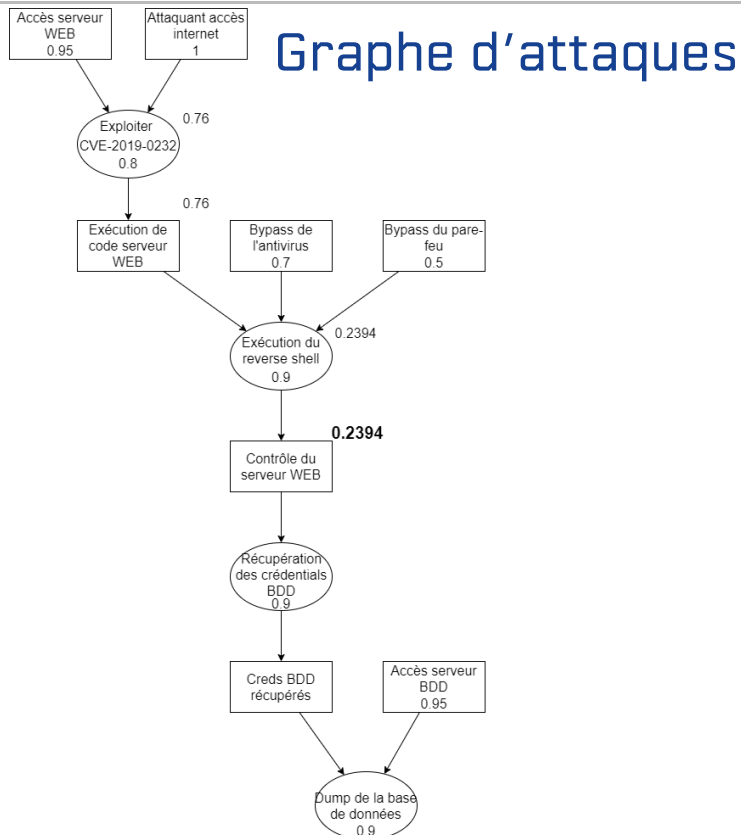


$$P\left(\bigcup_{i=0}^n X_i\right) = 1 - \prod_{i=0}^n P(\overline{X_i})$$

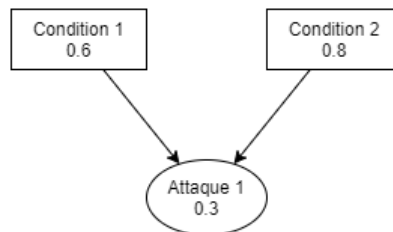
$$P(\text{Attaque1} \cup \text{Attaque2}) = 1 - 0.6 \times 0.3 = 0.82$$

SOLUTIONS EXISTANTES

MODÉLISATION DE SCÉNARIOS D'ATTAQUES

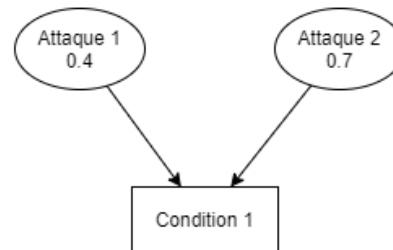


Règles de calculs



$$P\left(\bigcap_{i=0}^n X_i\right) = \prod_{i=0}^n P(X_i)$$

$$P(\text{Condition1} \cap \text{Condition2} \cap \text{Attaque1}) = 0.6 \times 0.8 \times 0.3 = 0.144$$

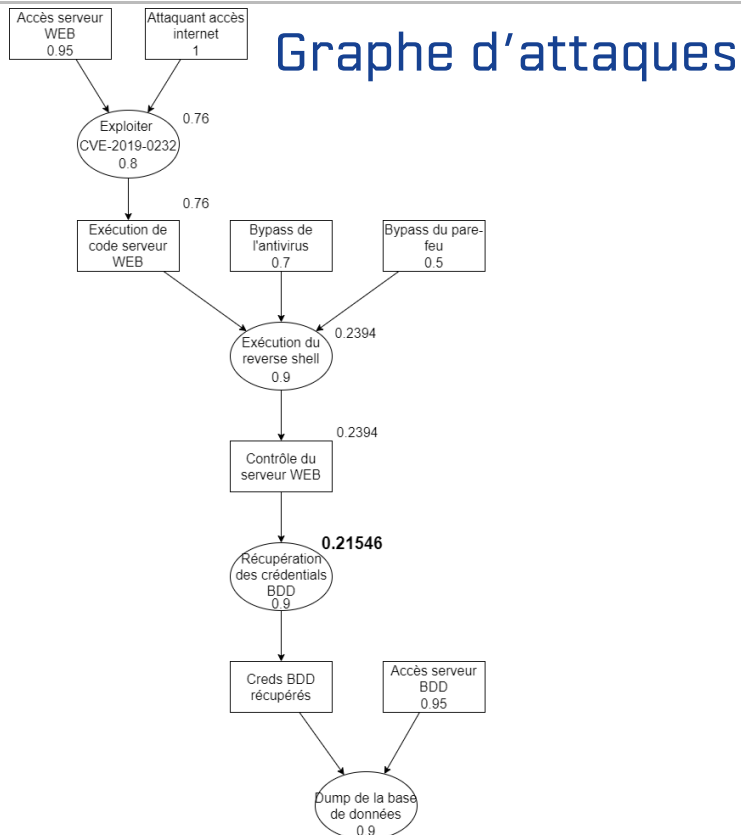


$$P\left(\bigcup_{i=0}^n X_i\right) = 1 - \prod_{i=0}^n P(\overline{X_i})$$

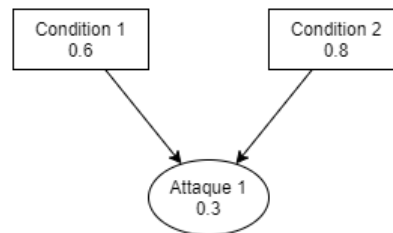
$$P(\text{Attaque1} \cup \text{Attaque2}) = 1 - 0.6 \times 0.3 = 0.82$$

SOLUTIONS EXISTANTES

MODÉLISATION DE SCÉNARIOS D'ATTAQUES

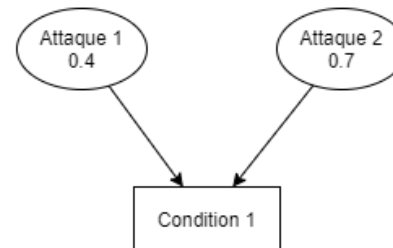


Règles de calculs



$$P\left(\bigcap_{i=0}^n X_i\right) = \prod_{i=0}^n P(X_i)$$

$$P(\text{Condition1} \cap \text{Condition2} \cap \text{Attaque1}) = 0.6 \times 0.8 \times 0.3 = 0.144$$

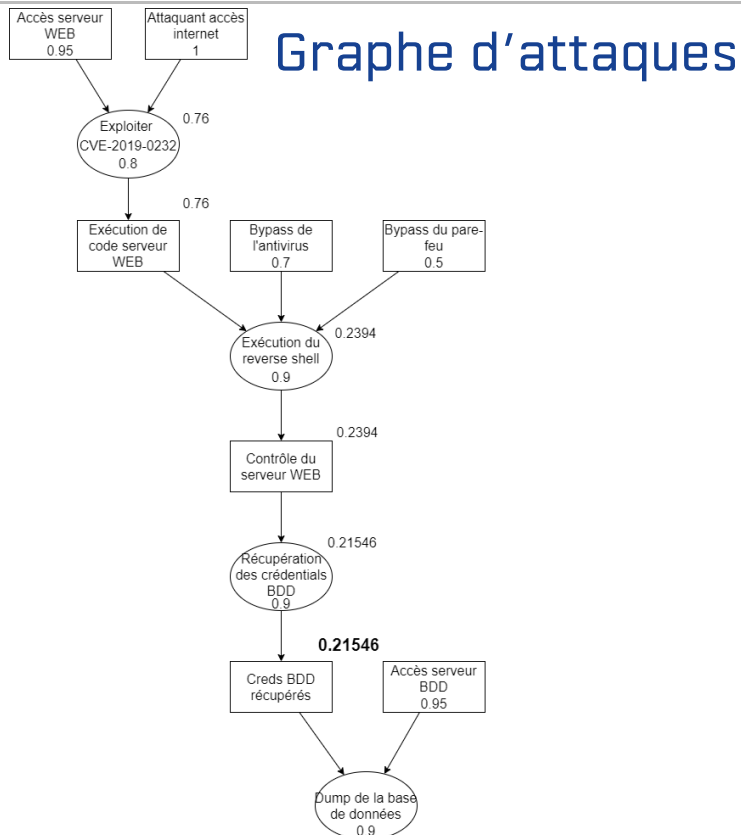


$$P\left(\bigcup_{i=0}^n X_i\right) = 1 - \prod_{i=0}^n P(\overline{X_i})$$

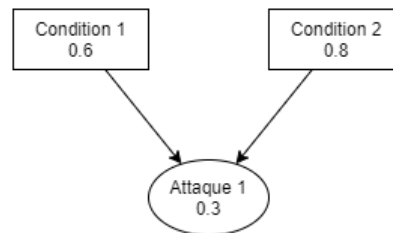
$$P(\text{Attaque1} \cup \text{Attaque2}) = 1 - 0.6 \times 0.3 = 0.82$$

SOLUTIONS EXISTANTES

MODÉLISATION DE SCÉNARIOS D'ATTAQUES

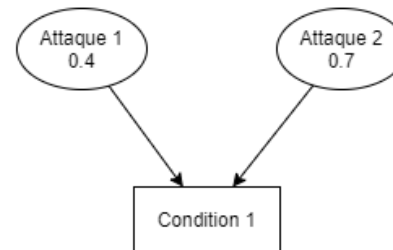


Règles de calculs



$$P\left(\bigcap_{i=0}^n X_i\right) = \prod_{i=0}^n P(X_i)$$

$$P(\text{Condition1} \cap \text{Condition2} \cap \text{Attaque1}) = 0.6 \times 0.8 \times 0.3 = 0.144$$

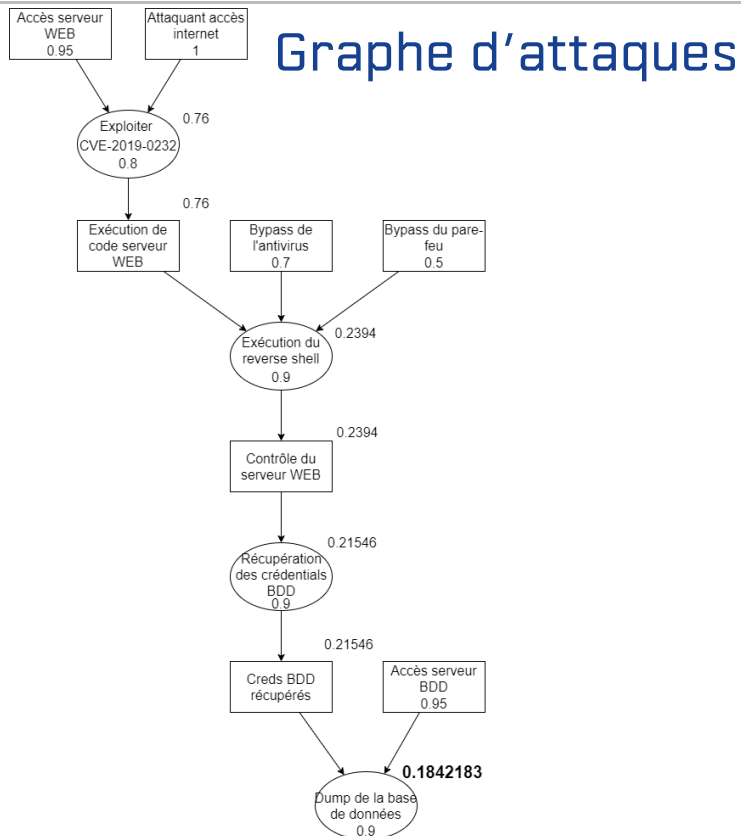


$$P\left(\bigcup_{i=0}^n X_i\right) = 1 - \prod_{i=0}^n P(\overline{X_i})$$

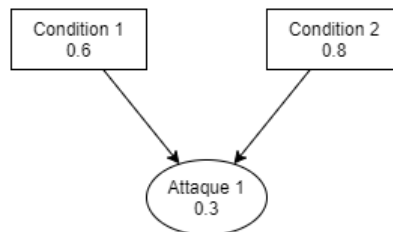
$$P(\text{Attaque1} \cup \text{Attaque2}) = 1 - 0.6 \times 0.3 = 0.82$$

SOLUTIONS EXISTANTES

MODÉLISATION DE SCÉNARIOS D'ATTAQUES

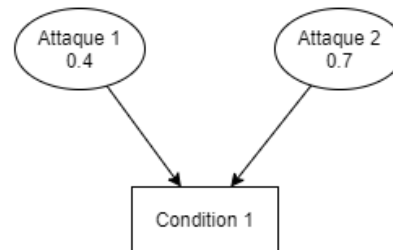


Règles de calculs



$$P\left(\bigcap_{i=0}^n X_i\right) = \prod_{i=0}^n P(X_i)$$

$$P(\text{Condition1} \cap \text{Condition2} \cap \text{Attaque1}) = 0.6 \times 0.8 \times 0.3 = 0.144$$



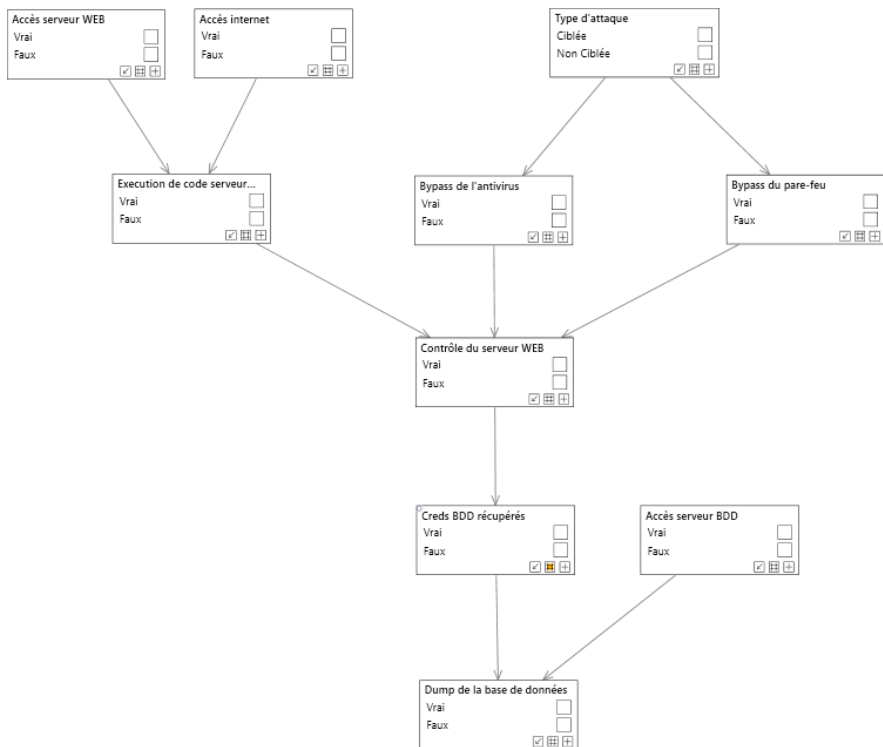
$$P\left(\bigcup_{i=0}^n X_i\right) = 1 - \prod_{i=0}^n P(\overline{X_i})$$

$$P(\text{Attaque1} \cup \text{Attaque2}) = 1 - 0.6 \times 0.3 = 0.82$$

SOLUTIONS EXISTANTES

MODÉLISATION DE SCÉNARIOS D'ATTAQUES

Réseaux Bayésiens



Tables de probabilités conditionnelles

Type d'attaque	Bypass de l'antivirus = Vrai	Bypass de l'antivirus = Faux
Ciblée	0,8	0,2
Non Ciblée	0,15	0,85

Nœud Bypass antivirus

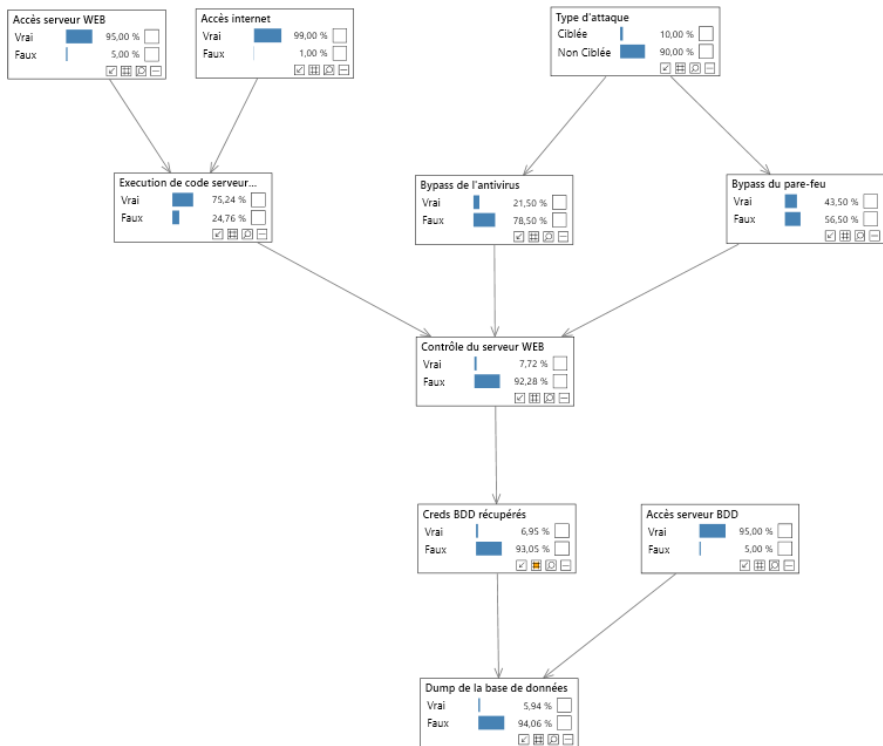
Creds BDD récupérés	Accès serveur BDD	Dump BDD = Vrai	Dump BDD = Faux
Vrai	Vrai	0,9	0,1
Vrai	Faux	0	1
Faux	Vrai	0	1
Faux	Faux	0	1

Nœud Dump BDD

SOLUTIONS EXISTANTES

MODÉLISATION DE SCÉNARIOS D'ATTAQUES

Réseaux Bayésiens



Règles de calculs

$$P(X_i | PARENTS(X_i))$$

Creds BDD récupérés	Accès serveur BDD	Dump BDD = Vrai	Dump BDD = Faux
Vrai	Vrai	0,9	0,1
Vrai	Faux	0	1
Faux	Vrai	0	1
Faux	Faux	0	1

Probabilités conditionnelles

$$P(X_1, X_2, \dots, X_n) = \prod_{i=1}^n P(X_i | PARENTS(X_i))$$

Probabilités conjointes

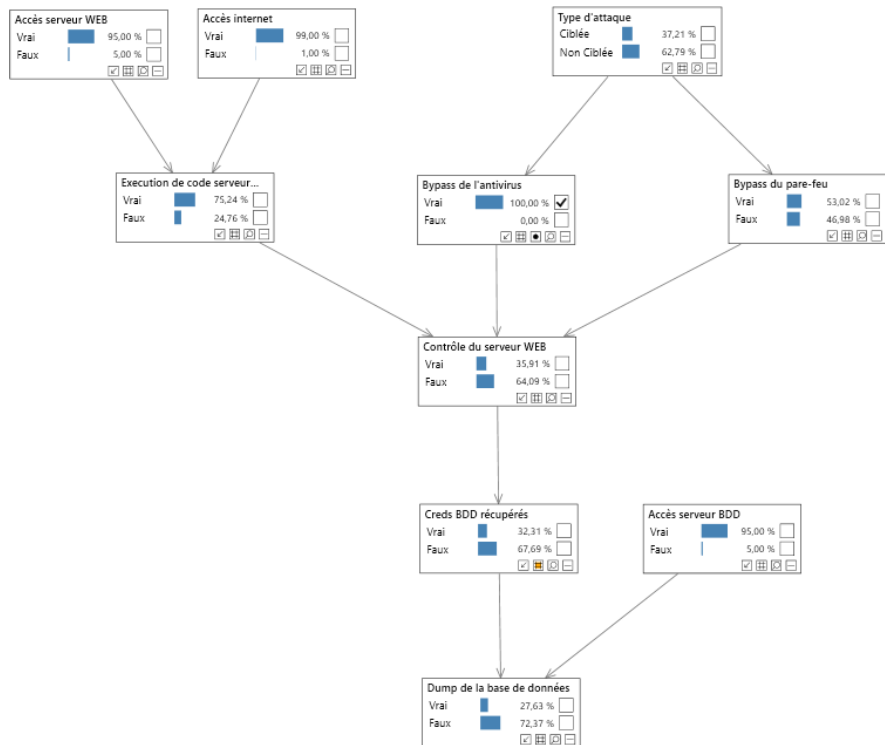
$$P(X_i = x) = \sum_{X_1} \dots \sum_{X_{i-1}} \sum_{X_{i+1}} \dots \sum_{X_n} P(X_1, \dots, X_i = x, \dots, X_n)$$

Probabilités marginales

SOLUTIONS EXISTANTES

MODÉLISATION DE SCÉNARIOS D'ATTAQUES

Réseaux Bayésiens



Règles de calculs

$$P(X_i = x | E = e) = \frac{P(X_i = x, E = e)}{P(E = e)}$$

avec,

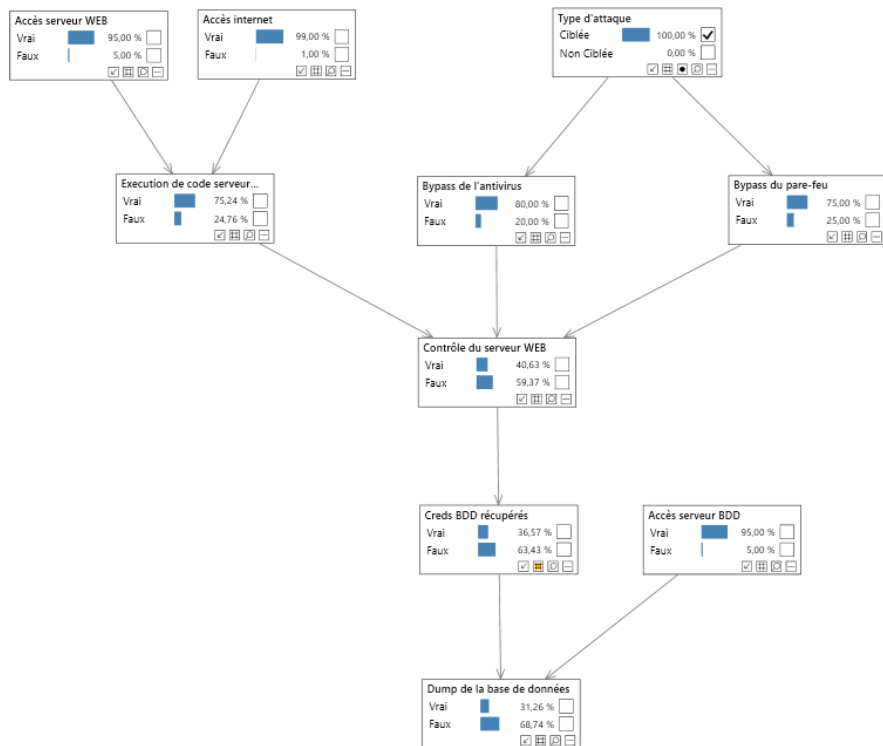
$$P(X_i = x, E = e) = \sum_Y P(X_i = x, Y, E = e)$$

$$P(E = e) = \sum_X \sum_Y P(X, Y, E = e)$$

SOLUTIONS EXISTANTES

MODÉLISATION DE SCÉNARIOS D'ATTAQUES

Réseaux Bayésiens



Règles de calculs

$$P(X_i = x | E = e) = \frac{P(X_i = x, E = e)}{P(E = e)}$$

avec,

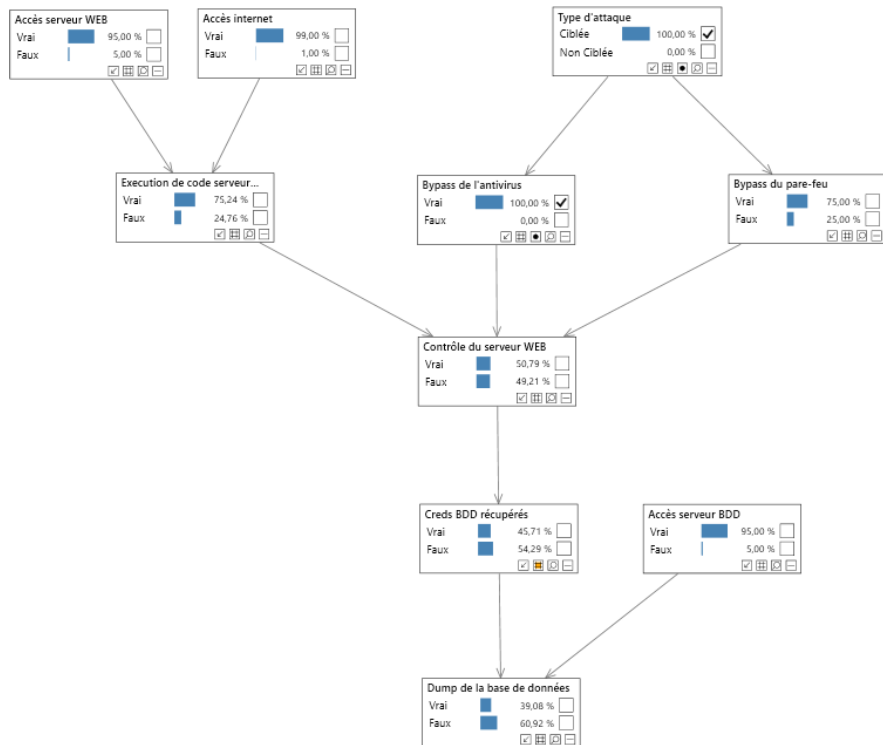
$$P(X_i = x, E = e) = \sum_Y P(X_i = x, Y, E = e)$$

$$P(E = e) = \sum_X \sum_Y P(X, Y, E = e)$$

SOLUTIONS EXISTANTES

MODÉLISATION DE SCÉNARIOS D'ATTAQUES

Réseaux Bayésiens



Règles de calculs

$$P(X_i = x | E = e) = \frac{P(X_i = x, E = e)}{P(E = e)}$$

avec,

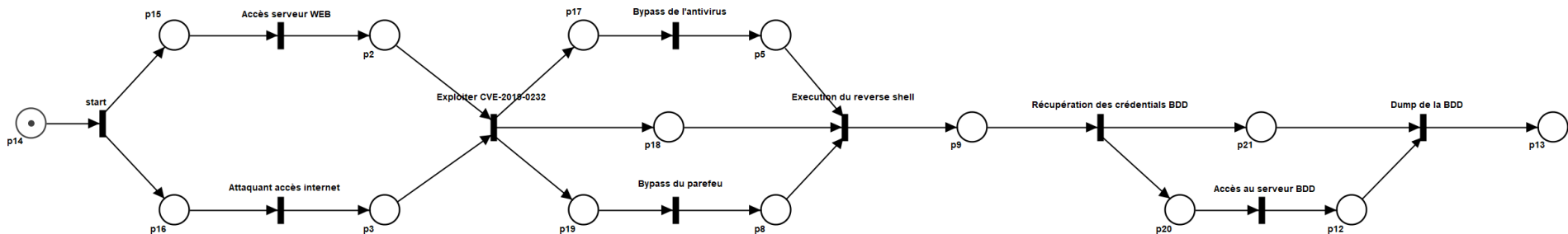
$$P(X_i = x, E = e) = \sum_Y P(X_i = x, Y, E = e)$$

$$P(E = e) = \sum_X \sum_Y P(X, Y, E = e)$$

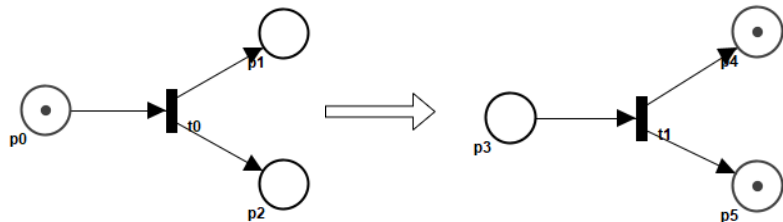
SOLUTIONS EXISTANTES

MODÉLISATION DE SCÉNARIOS D'ATTAQUES

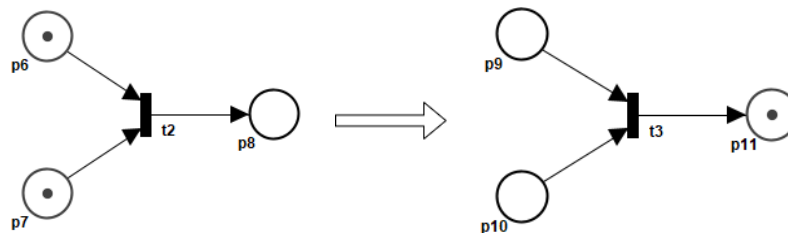
Réseau de Pétri



Règle 1



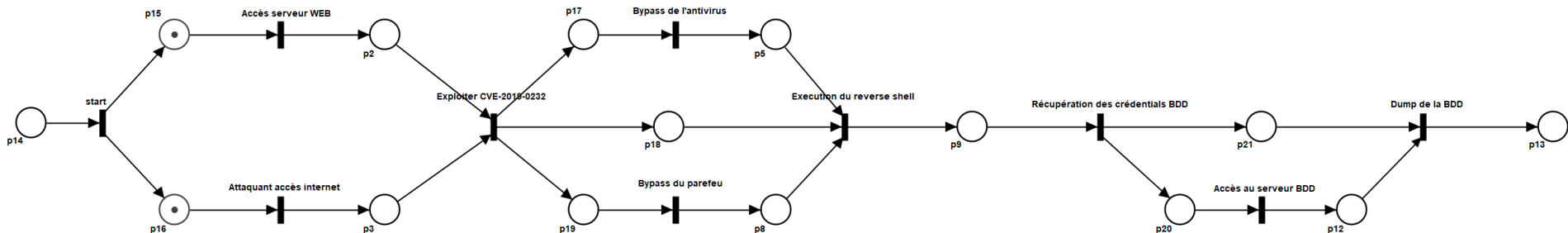
Règle 2



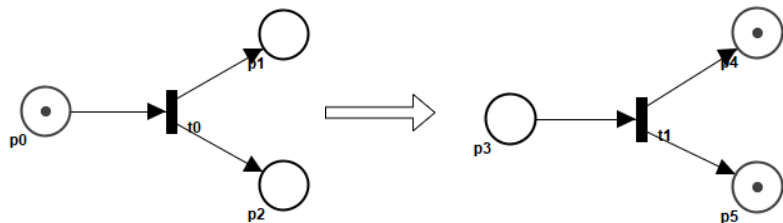
SOLUTIONS EXISTANTES

MODÉLISATION DE SCÉNARIOS D'ATTAQUES

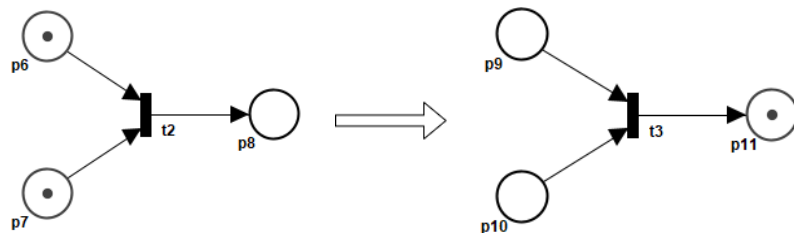
Réseau de Pétri



Règle 1



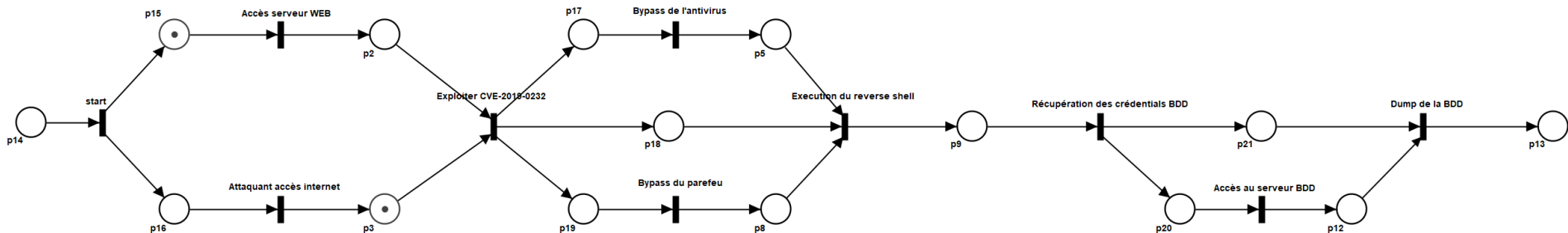
Règle 2



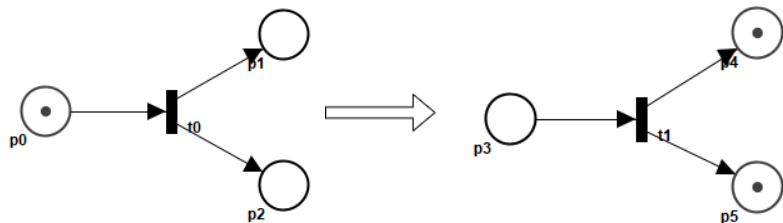
SOLUTIONS EXISTANTES

MODÉLISATION DE SCÉNARIOS D'ATTAQUES

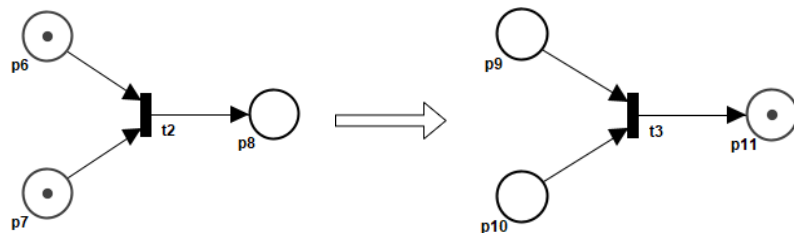
Réseau de Pétri



Règle 1



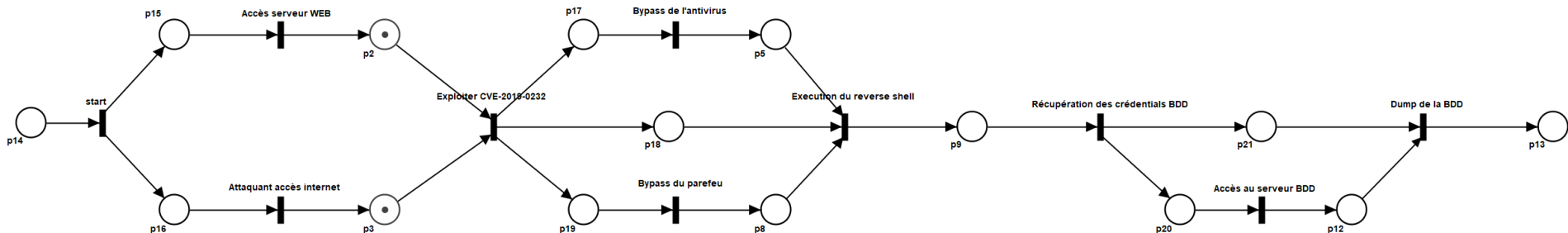
Règle 2



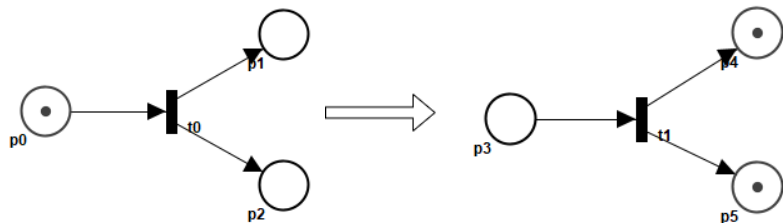
SOLUTIONS EXISTANTES

MODÉLISATION DE SCÉNARIOS D'ATTAQUES

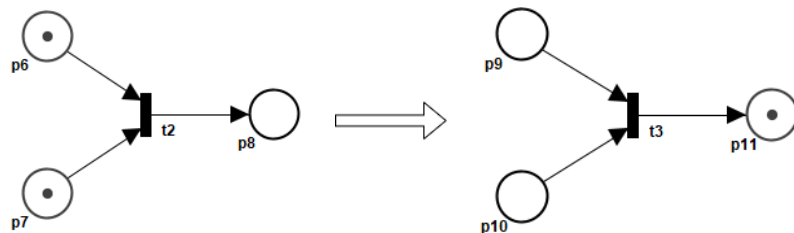
Réseau de Pétri



Règle 1



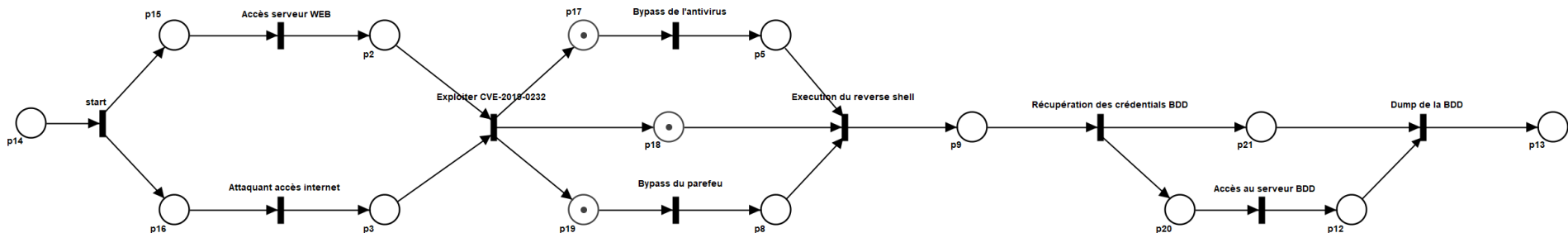
Règle 2



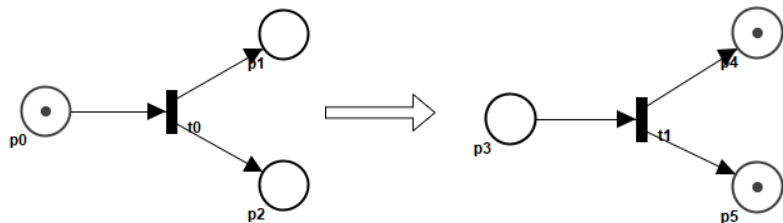
SOLUTIONS EXISTANTES

MODÉLISATION DE SCÉNARIOS D'ATTAQUES

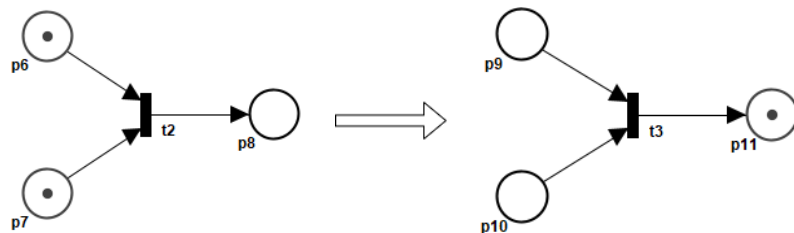
Réseau de Pétri



Règle 1



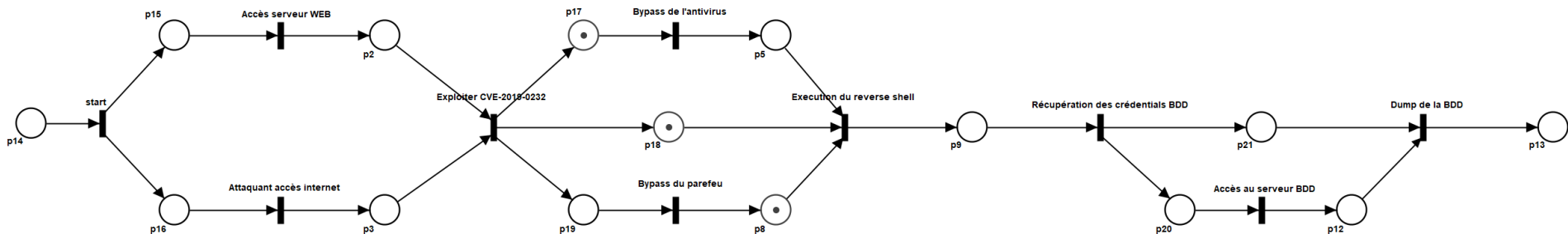
Règle 2



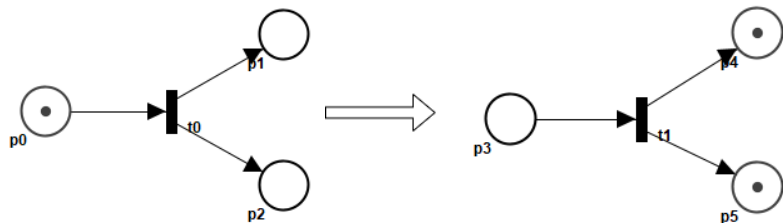
SOLUTIONS EXISTANTES

MODÉLISATION DE SCÉNARIOS D'ATTAQUES

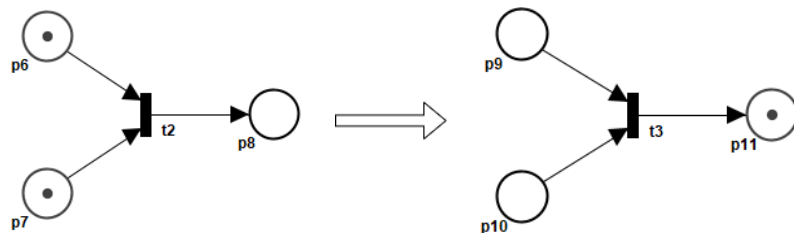
Réseau de Pétri



Règle 1



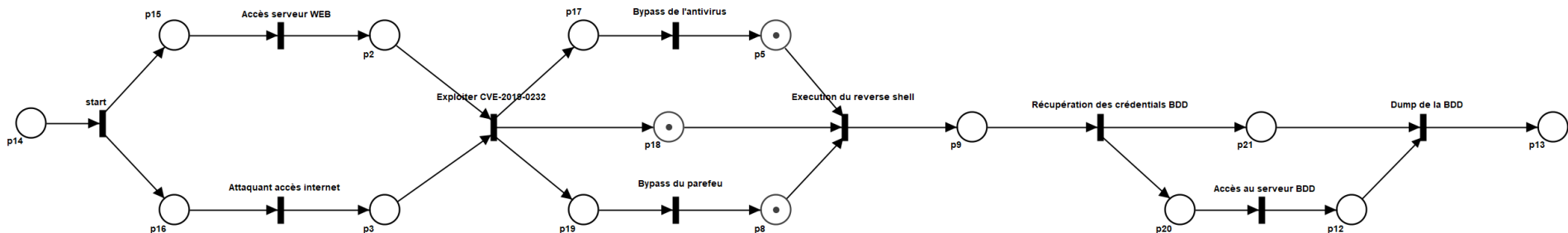
Règle 2



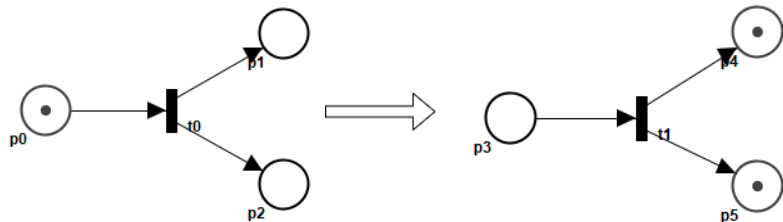
SOLUTIONS EXISTANTES

MODÉLISATION DE SCÉNARIOS D'ATTAQUES

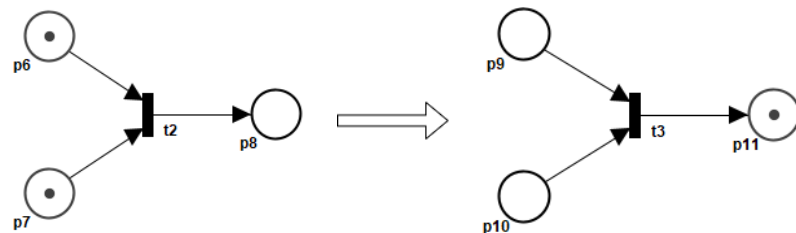
Réseau de Pétri



Règle 1



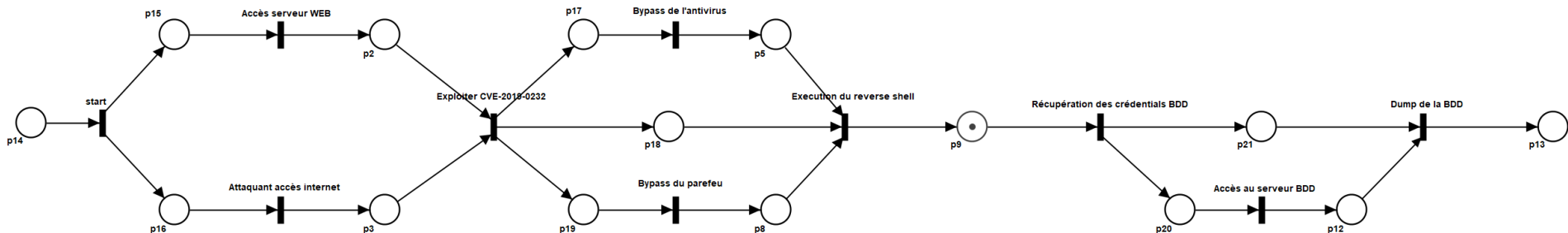
Règle 2



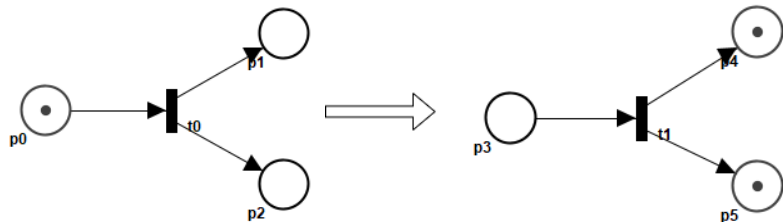
SOLUTIONS EXISTANTES

MODÉLISATION DE SCÉNARIOS D'ATTAQUES

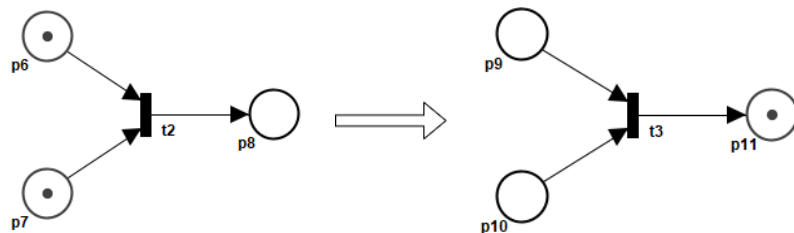
Réseau de Pétri



Règle 1



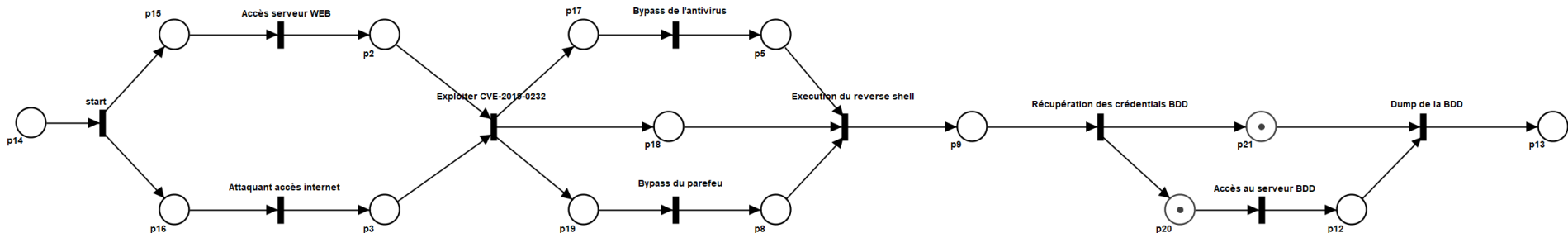
Règle 2



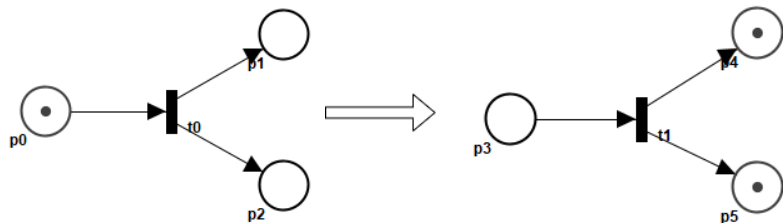
SOLUTIONS EXISTANTES

MODÉLISATION DE SCÉNARIOS D'ATTAQUES

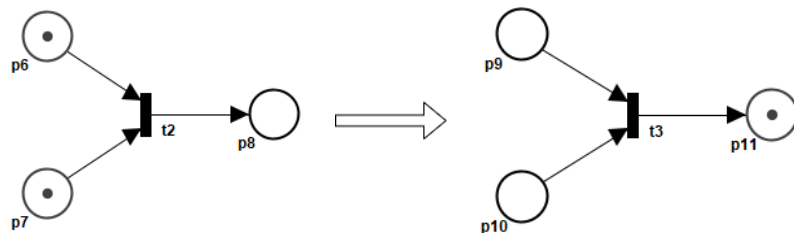
Réseau de Pétri



Règle 1



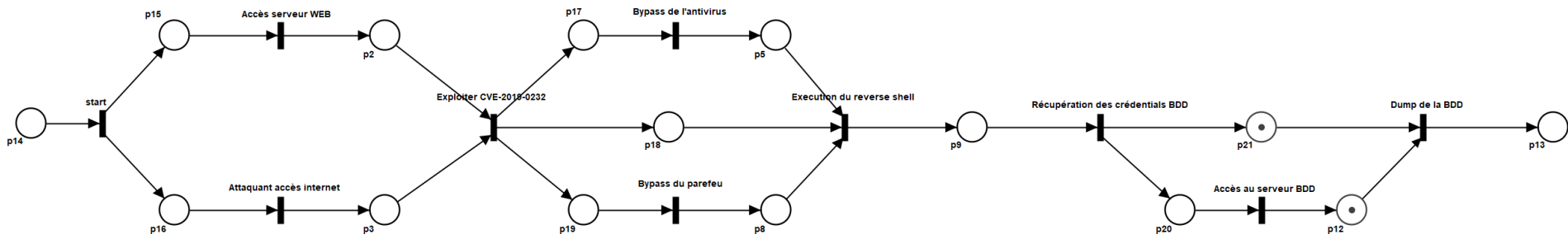
Règle 2



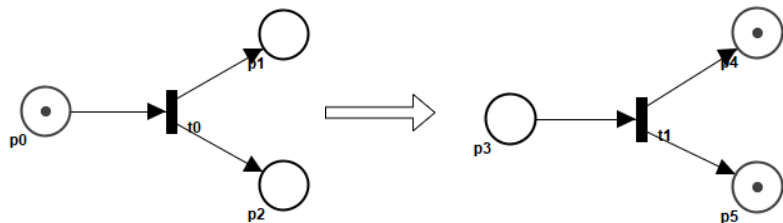
SOLUTIONS EXISTANTES

MODÉLISATION DE SCÉNARIOS D'ATTAQUES

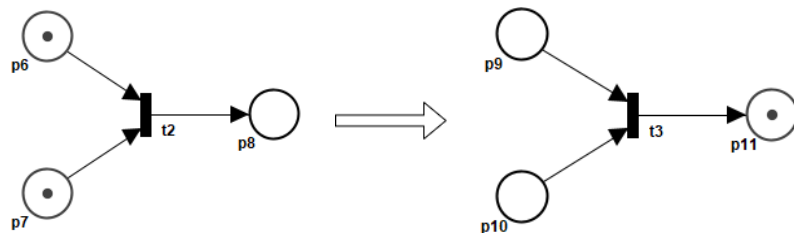
Réseau de Pétri



Règle 1



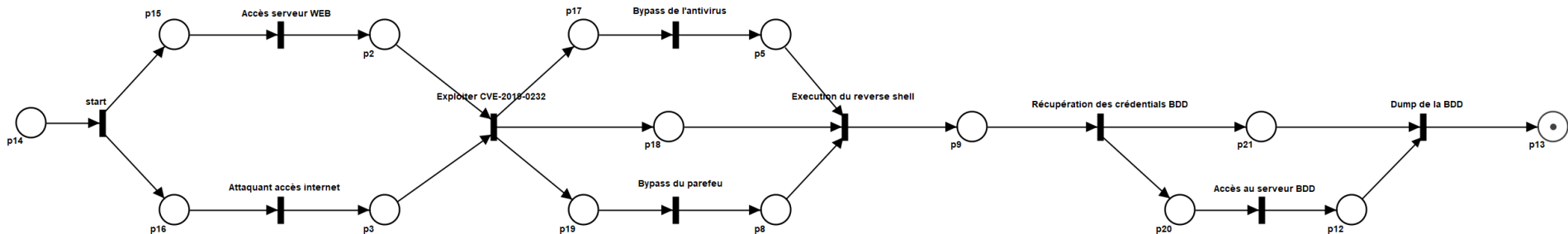
Règle 2



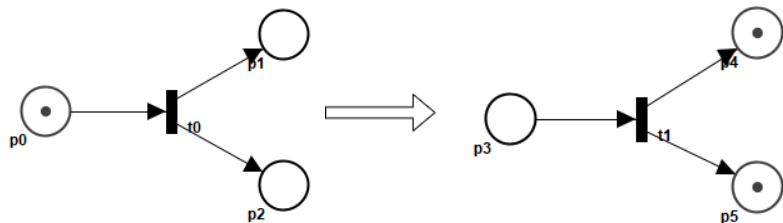
SOLUTIONS EXISTANTES

MODÉLISATION DE SCÉNARIOS D'ATTAQUES

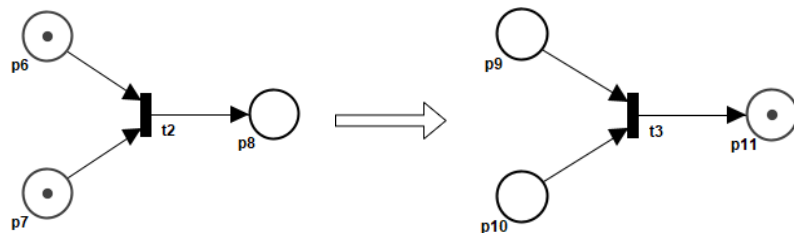
Réseau de Pétri



Règle 1



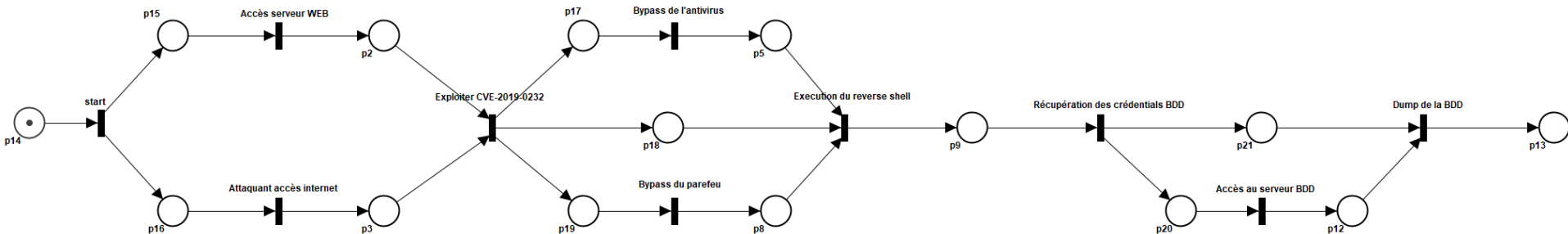
Règle 2



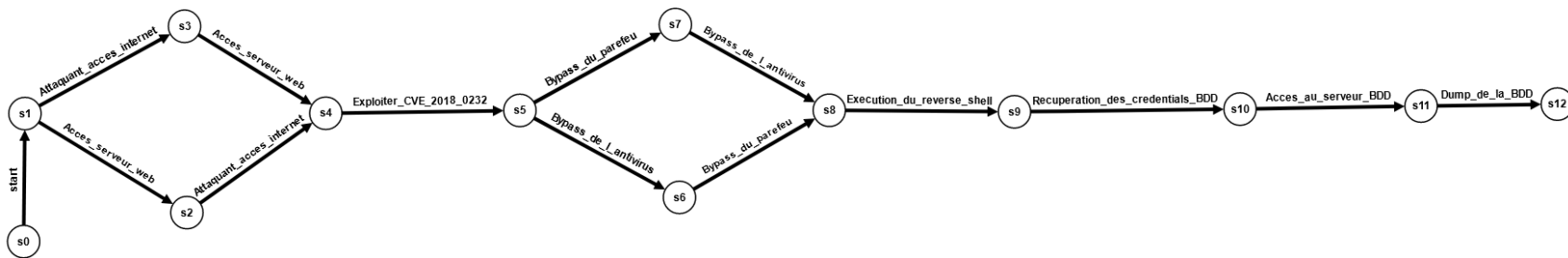
SOLUTIONS EXISTANTES

MODÉLISATION DE SCÉNARIOS D'ATTAQUES

Réseau de Pétri



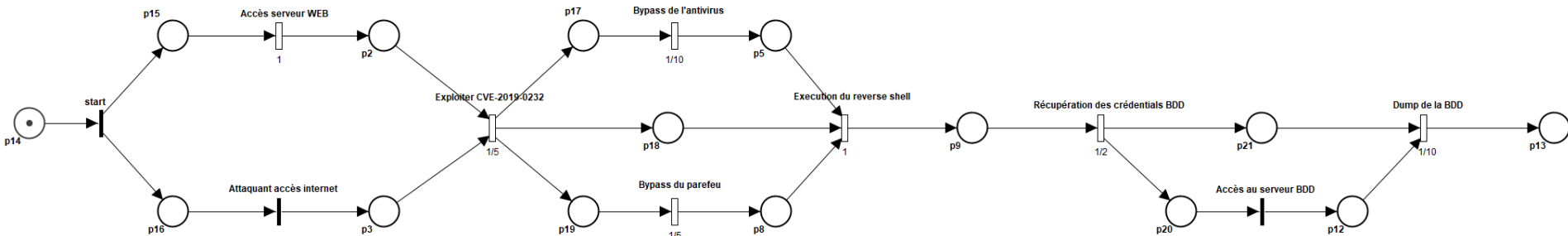
Graphe d'accessibilité



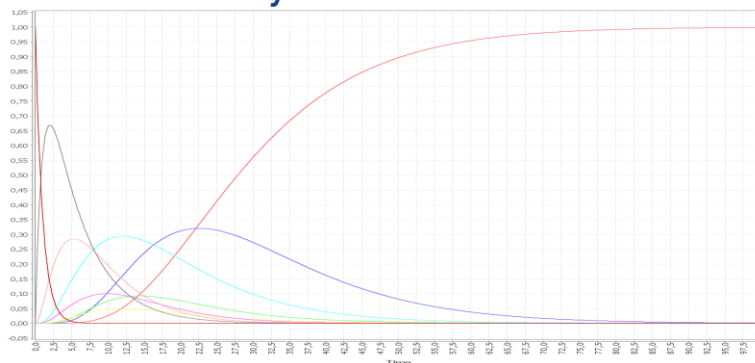
SOLUTIONS EXISTANTES

MODÉLISATION DE SCÉNARIOS D'ATTAQUES

Réseau de Pétri



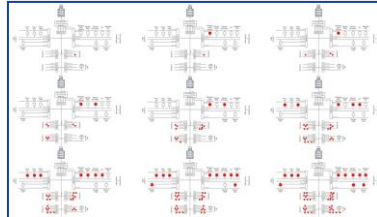
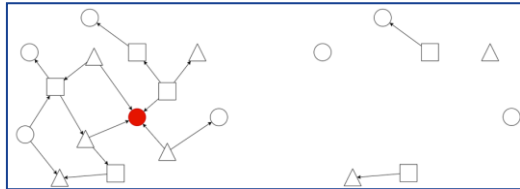
Analyse transitoire



CONCLUSION

CONCLUSION

Polynomiale



Degree centrality

$$ND_i = \sum_{j=1, j \neq i}^N a_{ij}$$

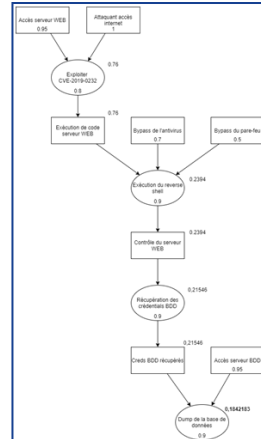
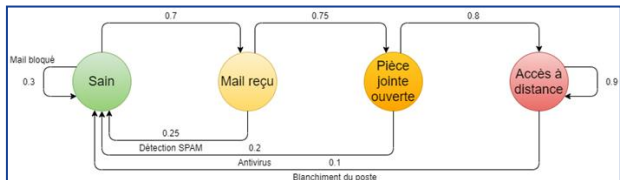
Betweenness centrality

$$BC(x) = \sum_{\substack{p \neq x \neq q \\ p, q \neq x}} \frac{\omega_{p,x}(x) \omega_{x,q}(x)}{\omega_{p,q}(x)}$$

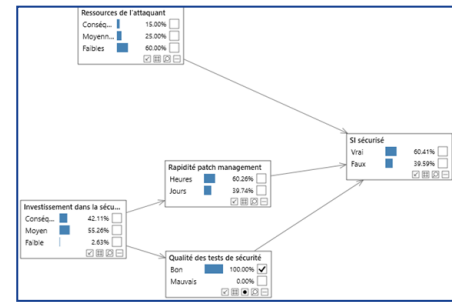
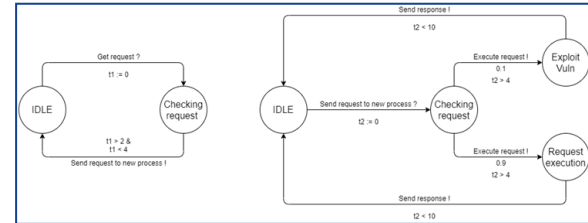
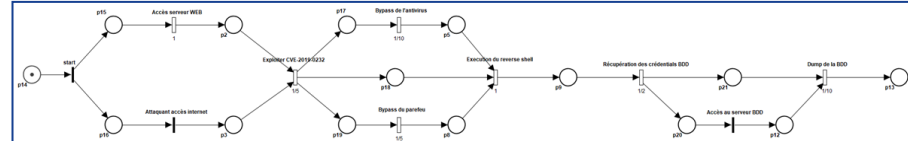
Closeness centrality

$$C(x) = \sum_y \frac{1}{d(x, y)}$$

Eigenvector centrality

$$A \times \begin{bmatrix} x_1 \\ x_2 \\ \vdots \\ x_n \end{bmatrix} = \begin{bmatrix} \lambda x_1 \\ \lambda x_2 \\ \vdots \\ \lambda x_n \end{bmatrix}$$


Non polynomiale



CONCLUSION

Est ce que la problématique est résolue ?

Il existe des modèles permettant de calculer la probabilité d'exploitation et l'impact de la vulnérabilité sur le système.

Mais il existe encore des limitations :

- Temps de calcul importants.
- Difficulté à générer les modèles.
- Limitations aux CVE et CVSS.

QUESTIONS

